

*ITZHAK RODITI*

APLICAÇÃO DO FORMALISMO HIPERESFÉRICO AO ESTUDO DOS NÍVEIS DE  
ENERGIA DE SISTEMAS A TRÊS CORPOS EM INTERAÇÃO COULOMBIANA

Tese de

MESTRADO

CENTRO BRASILEIRO DE PESQUISAS FÍSICAS

Rio de Janeiro

-1979-

## RESUMO

Apresentam-se os resultados da aplicação do formalismo hiperesférico no cálculo dos estados fundamentais dos íons  $H^-$ , ( $e^-e^+e^-$ ) e do átomo de He. Mostra-se que a convergência dos valores é lenta, como foi encontrado nas aplicações em Física Nuclear. Isto obriga ao cálculo de elementos de matriz. do potencial até ordens altas, o que foi realizado com o programa SCHOONSCHIP de cálculo algébrico. Ainda assim, se faz necessário o uso de métodos de aceleração de convergência, que melhoraram notavelmente os resultados da aplicação direta do método.

## S U M Á R I O

	<u>Pág.</u>
AGRADECIMENTO .....	iii
RESUMO .....	iv
LISTA DE FIGURAS .....	vii
LISTA DE TABELAS .....	viii
<u>CAPÍTULO 1</u> - INTRODUÇÃO .....	1
<u>CAPÍTULO 2</u> - MÉTODO DOS HARMÔNICOS HIPERESFÉRICOS .....	5
2.1 - O Problema de Dois Corpos e Sua Generalização. Harmônicos Hiperesféricos .....	5
2.2 - Harmônicos-k para Três Corpos .....	15
2.3 - A Solução do Sistema de Equações Acopladas .....	19
<u>CAPÍTULO 3</u> - ELEMENTOS DE MATRIZ DO POTENCIAL PARA O PROBLEMA COULOMBIANO DE TRÊS CORPOS .....	27
3.1 - O Potencial nas Novas Coordenadas .....	27
3.2 - Os Elementos de Matriz .....	32
3.3 - Cálculo Efetivo dos $V_{kv,k'v'}$ .....	36
<u>CAPÍTULO 4</u> - SISTEMAS COULOMBIANOS DE TRÊS CORPOS .....	46
<u>CAPÍTULO 5</u> - RESULTADOS E DISCUSSÕES .....	51
5.1 - Autovalores e Autovetores .....	51
5.2 - Convergência em Função de k .....	57
<u>CAPÍTULO 6</u> - CONCLUSÃO .....	66

<u>APÊNDICE A</u> - MÉTODOS DE EXTRAPOLAÇÃO .....	68
A.1- Aproximantes de Padé Pontuais .....	68
A.2- Método de Extrapolação de Aitkén .....	69
 <u>APÊNDICE B</u> - TABELAS DE ELEMENTOS DE MATRIZ .....	73
 <u>BIBLIOGRAFIA</u> .....	77

LISTA DE FIGURAS

<u>Fig.</u>	<u>Pág.</u>
5.1 - Gráfico da onda parcial $\chi_{00}$ do átomo de He calculada com k = 10 e multiplicada por $\rho^{5/2}$ .....	55
5.2 - Reta utilizada para a extração dos valores da energia de $e^-e^+e^-$ .....	63
A.1 - Reta de extração do método de Aitken .....	70

LISTA DE TABELAS

<u>Tab.</u>	<u>Pág.</u>
3.1 - Valores dos índices e expressões dos elementos de matriz .....	37
3.2 - Integração em $\lambda$ .....	39
3.3 - SUM equivale a $V_{10,1;0,0}$ .....	40
3.4 - Colocam-se os Polinômios de Jacobi .....	41
3.5 - Saída de SUM após a substituição da Tab. 3.4 .....	42
3.6 - Polinômios de Jacobi .....	42
3.7 - Saída após colocação da forma explícita dos Polinômios de Jacobi .....	42
3.8 - Substituição para a integração em A .....	43
3.9 - Resultado da integração em A .....	43
3.10 - Substituição dos valores numéricos .....	44
3.11 - Valores $A_{101}^{k'v'}$ para $k' = 0,2,4,6,8$ .....	44
4.1 - Valores da energia fundamental, usando o princípio de incerteza e experimental de $H^-$ , $He$ e $Li^+$ .....	48
4.2 - Valores da energia do estado fundamental, utilizando o princípio variacional .....	49
4.3 - Valores da energia do estado fundamental, utilizando os métodos de configuração-interação (C-I) e as equações de Fadeev .....	50

5.1	- Autovalores da energia do íon $e^-e^+$ em u.a. ....	53
5.2	- Autovalores da energia do íon $H^-$ (com massa do próton real) em u.a. ....	53
5.3	- Autovalores da energia do íon $H^-$ (com massa do próton $\rightarrow \infty$ ) ....	54
5.4	- Autovalores da energia do átomo de He (com massa de núcleo $\rightarrow \infty$ ) em u.a. ....	54
5.5	- Contribuição percentual das ondas parciais $x_{kv}$ à norma da função de onda ....	56
5.6	- Tabela de aproximações de Padé para o íon $e^-e^+e^-$ , $N = (k-4)/2$ , $n=9$ ....	59
5.7	- Tabela de aproximações de Padé para o He, $N = (k-2)/2$ , $n=14$ ....	59
5.8	- Tabela de aproximações de Padé para o íon $H^-$ ( $M_p \rightarrow \infty$ ), $N = (k-2)/2$ , $n=14$ ....	59
5.9	- Tabela de aproximações de Padé para o íon $H^-$ ( $M_p$ real), $N = (k-2)/2$ , $n=14$ ....	60
5.10	- Aproximações de Padé sobre os <u>aproximações diagonais</u> das tabelas 6, 7, 8, 9 ....	61
5.11	- Valores de $E(\infty)$ para os íons $e^-e^+e^-$ , $H^-$ e átomo de He ( $M_p$ = massa do próton), em u.a: ....	62
B.1	- Elementos $C_{n,m}$ para o íon $e^-e^+e^-$ ....	74
B.2	- Elementos $C_{n,m}$ para o íon $H^-$ e átomo de He com massas nucleares infinitas ....	75
B.3	- Elementos $C_{n,m}$ para o íon $H^-$ com massa nuclear real ....	76

## CAPÍTULO 1

### INTRODUÇÃO

A compreensão da estrutura e propriedades dos sistemas atômicos e moleculares mais simples recebeu uma atenção considerável desde antes da aparição da mecânica quântica e do estabelecimento da equação de Schrödinger. Com estes instrumentos, podemos resolver o átomo de hidrogênio de uma maneira completa e elegante. Entretanto, quando passamos a investigar problemas de três ou mais corpos, a situação se torna intrincada, fazendo-se necessário o uso de aproximações ou de hipóteses adicionais (relativas à disposição espacial das partículas, por exemplo) na solução dos sistemas. Para átomos e íons como  $H^-$ ,  $He$ ,  $Li^+$  e outros, não era possível uma solução completa. Porém, estes átomos são suficientemente simples para que possamos obter resultados acurados com os variados métodos de aproximação. Neste domínio os melhores resultados até hoje encontrados são os cálculos realizados a partir de um princípio variacional.

O surgimento da Física Nuclear e a necessidade de compreender mais a fundo as interações fortes, trouxe a necessidade de resolver outros problemas de poucos corpos<sup>(1)</sup>, que são de natureza diferente das da Física Atômica e Molecular (pelo alcance das forças e relacionamento diferente entre as partículas).

O potencial coulombiano depende exclusivamente da interação entre pares de partículas e é de longo alcance. Os potenci-

ais fenomenológicos nucleon-nucleon da física nuclear pensa-se que também sejam 1 a 1 e são de curto alcance. Apesar da diferença das características das forças presentes, uma solução formal do problema de três corpos, com potenciais entre pares deve servir igualmente bem a sistemas coulombianos e nucleares.

O primeiro resultado notável dos esforços para a obtenção de uma solução exata do problema de três corpos vem das equações propostas por Fadeev<sup>(2)</sup>. Essencialmente, estas equações são uma maneira conveniente de se reescrever a equação de Schrödinger e Lippman-Schwinger para três corpos, colocando-a numa forma integral (com solução única) que enfatiza a matriz T ao invés dos potenciais<sup>(3,4)</sup>.

Com o impulso dado à teoria por Fadeev surgem outras tentativas de compreensão da dinâmica do problema de três corpos, em particular o desenvolvimento da função de onda em harmônicos hiperesféricos. Diversas investigações foram realizadas nesta direção e os trabalhos que primeiro chegaram a uma forma elegante da solução são os de Zickendraht<sup>(5)</sup> e os de Simonov<sup>(6,7)</sup>. Este último lança a base do método que costumamos chamar de harmônicos-k. Para uma grande coletânea bibliográfica de trabalhos realizados nesta área vejam-se as refs. (8) e (9).

A partir do seu surgimento, estes métodos vêm sendo exaustivamente utilizados nos problemas da física nuclear. Ambos, trazem o mérito de chegar formalmente a uma solução exata. Porém, nos cálculos práticos, se faz necessário o uso de métodos numéricos de certa sofisticação para a obtenção de um resultado aproximado dos valores que se deseja calcular. Isto pode limitar de maneira drástica a aplicação destes formalismos. Em especial, a utilização dos harmônicos-k torna-se bastante mais difícil quando

estudam-se estados em que o momento angular total não é nulo.

Na Física Atômica apenas recentemente recorreu-se a estes métodos. As coordenadas hiperesféricas foram utilizadas por C.D. Lin<sup>(10)</sup> no estudo do sistema elétron-hidrogênio. Os harmônicos-k foram aplicados na obtenção do estado fundamental do íon negativo do positrônio  $e^-e^+e^-$  por Chowdhury et al.<sup>(11)</sup> e H. Coelho et al.<sup>(12)</sup>. Harmônicos-k a uma dimensão levam a resultados simples, no caso de três partículas a uma dimensão. O átomo de He e o  $He^+$  foram investigados dentro deste formalismo por Coelho e Amado<sup>(13)</sup>.

O uso dos harmônicos-k no estudo do íon  $e^-e^+e^-$  parece especialmente interessante pois, ao contrário do que ocorre em sistemas como o  $H^-$ , não podemos considerar uma das massas como infinita eliminando sua contribuição ao movimento. Com harmônicos-k, em nenhum momento é mais conveniente ou necessária esta consideração.

No presente trabalho, pretendemos aplicar o método dos harmônicos-k a sistemas de três corpos sob interação coulombiana, mais precisamente na obtenção da energia de ligação do íon  $e^-e^+e^-$ , do átomo de Hélio e do íon negativo do Hidrogênio  $H^-$ :

O segundo Capítulo traz uma descrição detalhada do método dos harmônicos hiperesféricos (harmônicos-k); dos casos em que é possível uma solução analítica e de como resolver explicitamente o sistema infinito de equações acopladas que contém a dinâmica do problema.

No terceiro Capítulo são examinadas as características do potencial de Coulomb, dentro desta nova metodologia. Calculamos em detalhe os assim chamados elementos de matriz do potencial. Para efetivação deste cálculo é conveniente o uso de um pro-

grama de computação algébrica, Schoonschip, que explicamos no de correr do capítulo.

Os sistemas Coulombianos de três corpos são investigados de uma maneira mais próxima no quarto Capítulo e em seguida no quinto Capítulo apresentamos o resultado de nossas aplicações do método dos harmônicos-k e do estudo da convergência dos valores calculados. Para tal estudo utilizamos métodos de aceleração de convergência como os aproximantes de Padé e propusemos uma fórmula linear em  $(k)^{-\gamma}$  para extração dos valores da energia.

No Apêndice A estão contidos alguns detalhes do método dos aproximantes de Padé pontuais<sup>(14)</sup>, seu uso e sua relação com o método de extração de Aitken.

No Apêndice B estão contidas tabelas com os valores dos elementos de matriz do potencial.

Devemos ainda salientar que quando nos referimos a unidades atômicas (u.a.), são as definidas no livro de Bethe e Salpeter<sup>(15)</sup>. A saber:

1. unidade de carga =  $e$  = carga do elétron;
2. unidade de massa =  $m$  = massa do elétron;
3. unidade de comprimento =  $a = \frac{\hbar^2}{me^2} =$  raio da primeira órbita de Bohr;
4. unidade de energia =  $e^2/a =$  dobro do potencial de ionização do hidrogênio (massa do próton  $\rightarrow \infty$ ).

## CAPÍTULO 2

### MÉTODO DOS HARMÔNICOS HIPERESFÉRICOS

#### 2.1 - O Problema de Dois Corpos e sua Generalização. Harmônicos Hiperesféricos

Na mecânica quântica, quando buscamos uma solução para problemas de dois corpos, costumamos separar os movimentos do centro de massa e relativo; este último é relevante para o cálculo da energia de ligação. A equação que descreve o movimento relativo pode ainda ser separada em duas, uma relacionada à distância entre as partículas e outra que contém as variáveis angulares.

A equação de Schrödinger para o problema com massas  $m_1$  e  $m_2$  tem a forma

$$\left[ -\frac{\hbar^2}{2m_1} \nabla_x^2 - \frac{\hbar^2}{2m_2} \nabla_y^2 + V(\vec{x}, \vec{y}) \right] \phi(\vec{x}, \vec{y}) = E \phi(\vec{x}, \vec{y}) \quad (1)$$

$$\nabla_x^2 = \frac{\partial^2}{\partial x_1^2} + \frac{\partial^2}{\partial x_2^2} + \frac{\partial^2}{\partial x_3^2}$$

A função de onda  $\phi$  depende, então, das seis coordenadas das partículas  $(x_1, x_2, x_3)$  e  $(y_1, y_2, y_3)$ . Introduzindo as coordenadas do centro de massa e relativas

$$\vec{R} = \frac{m_1 \vec{x} + m_2 \vec{y}}{m_1 + m_2} \quad (2)$$

$$\vec{r} = \vec{y} - \vec{x} \quad (3)$$

podemos separar a eq. (1) em uma que dependa apenas de  $\vec{R}$  e outra para  $\vec{r}$  (15). A equação em  $\vec{r}$  ou seja a que governa o movimento relativo é

$$\nabla_r^2 \psi(\vec{r}) + \frac{2\mu}{\hbar^2} (E_\ell - V)\psi(\vec{r}) = 0 \quad (4)$$

onde:

$$\mu = m_1 m_2 (m_1 + m_2)^{-1} \text{ é a massa reduzida.}$$

Ao utilizarmos as coordenadas esféricas

$$\begin{aligned} r_1 &= r \cos \phi \sin \theta \\ r_2 &= r \sin \phi \sin \theta \\ r_3 &= r \cos \theta \\ r &= (r_1^2 + r_2^2 + r_3^2)^{1/2} \end{aligned} \quad (5)$$

na eq. (4), chegaremos a

$$\begin{aligned} &\left[ \frac{1}{r^2} \frac{\partial}{\partial r} (r^2 \frac{\partial}{\partial r}) + \frac{1}{r^2 \sin \theta} \frac{\partial}{\partial \theta} (\sin \theta \frac{\partial}{\partial \theta}) + \frac{1}{r^2 \sin^2 \theta} \frac{\partial^2}{\partial \phi^2} \right] \psi(r, \theta, \phi) \\ &+ \frac{2\mu}{\hbar^2} (E_\ell - V)\psi(r, \theta, \phi) = 0 \end{aligned} \quad (6)$$

Devemos tentar como solução

$$\psi = \sum_{\ell, m} U_\ell(r) Y_{\ell m}(\theta, \phi) \quad (7)$$

onde os  $Y_{\ell m}$  são os harmônicos esféricos (15). Multiplicando a eq. (6) por  $Y_{\ell m}$  e integrando na parte angular obtemos:

$$\frac{1}{r^2} \frac{\partial}{\partial r} (r^2 \frac{\partial}{\partial r}) U_\ell(r) - \frac{\ell(\ell+1)}{r^2} U_\ell(r) + \frac{2\mu}{\hbar^2} E_\ell U_\ell(r) =$$

$$= \frac{2\mu}{\hbar^2} \sum_{\ell} \left[ \int Y_{\ell m} V Y_{\ell' m'} d\Omega \right] U_{\ell'}(r) \quad (8)$$

É claro que para potenciais que dependem apenas da distância entre as partículas (módulo do raio vetor), o sistema de equações (8) é desacoplado. Porém, para casos como o do deuteron, em que há forças que dependem de  $\ell$ , obtemos um sistema de equações diferenciais acopladas.

Quando existem três ou mais corpos em interação, podemos pensar em generalizar o procedimento descrito para duas partículas. O método dos harmônicos hiperesféricos consiste basicamente nesta generalização.

No problema de dois corpos, os seis graus de liberdade a priori existentes foram reduzidos a três quando eliminamos o movimento do centro de massa. Passamos então a utilizar uma distância  $r$  e dois ângulos como variáveis relevantes. Do mesmo modo, no problema de  $N$  corpos, podemos eliminar o movimento do centro de massa e teremos  $3N-3$  graus de liberdade. Após uma escolha conveniente de coordenadas poderemos definir uma hiperdistância  $\rho$  e  $3N-4$  ângulos. As funções que chamamos de harmônicos hiperesféricos são as que terão um papel análogo aos  $Y_{\ell m}$ , na eq. (7).

O ponto de partida para a generalização é a passagem das coordenadas  $x_i$  ( $i = 1, \dots, N$ ) das partículas para as assim chamadas coordenadas generalizadas de Jacobi (16, 17)

$$R = \left( \sum_{i=1}^N m_i \vec{x}_i \right) \left( \sum_{i=1}^N m_i \right)^{-1} \quad (9)$$

$$\vec{\xi}_{\alpha} = (\mu_{\alpha})^{1/2} \left[ \left( \sum_{\beta=1}^{\alpha} m_{\beta} \vec{x}_{\beta} \right) \left( \sum_{\beta=1}^{\alpha} m_{\beta} \right)^{-1} - \vec{x}_{\alpha+1} \right]$$

onde:

$$\mu_\alpha = m_{\alpha+1} \left( \sum_{\beta=1}^{\alpha} m_\beta \right) \left( \sum_{\beta=1}^{\alpha+1} m_\beta \right)^{-1} \quad e \quad \alpha = 1, \dots, N-1$$

A interpretação destas coordenadas é direta.  $\vec{R}$  é o vetor do centro de massa das  $N$  partículas e  $\mu_\alpha^{-1/2} \vec{\xi}$  é o vetor que realiza a conexão do centro de massa de um sub-sistema de partículas (etiquetadas de 1 a  $\alpha$ ) com a partícula  $\alpha+1$ .

Desta maneira a equação de Schrödinger para  $N$  corpos:

$$\left[ -\frac{\hbar^2}{2} \sum_{i=1}^N \frac{1}{m_i} \nabla_{\vec{x}_i}^2 + V(\vec{x}_1, \vec{x}_2, \dots, \vec{x}_N) - E \right] \phi(\vec{x}_1, \vec{x}_2, \dots, \vec{x}_N) = 0 \quad (10)$$

pode ser reescrita como:

$$\left\{ -\frac{\hbar^2}{2} \left[ \left( \sum_{i=1}^N m_i \right)^{-1} \nabla_{\vec{R}}^2 + \sum_{\alpha=1}^{N-1} \nabla_{\vec{\xi}_\alpha}^2 \right] + V(\vec{\xi}_1, \vec{\xi}_2, \dots, \vec{\xi}_{N-1}) - E \right\} \phi(\vec{R}, \vec{\xi}_1, \vec{\xi}_2, \dots, \vec{\xi}_{N-1}) = 0 \quad (11)$$

Neste momento podemos transformar as coordenadas  $\vec{\xi}_\alpha$  em coordenadas hiperesféricas (18). Introduzimos uma hiperdistância (raio de hiperesfera) definida por

$$\rho^2 = \sum_{\alpha=1}^{N-1} \vec{\xi}_\alpha^2 \quad (12)$$

As outras coordenadas são os ângulos que definem a posição de um ponto na hiperesfera. Uma maneira de definir estes ângulos é manter para cada  $\vec{\xi}_\alpha$  os ângulos polar e azimutal  $\theta_\alpha$  e  $\phi_\alpha$ , e definir novos ângulos relacionados ao comprimento de  $\vec{\xi}_\alpha$  e à hiperdistância por

$$\begin{aligned}
 \xi_1 &= \rho \operatorname{sen} \zeta_{N-2} \dots \operatorname{sen} \zeta_2 \operatorname{sen} \zeta_1 \\
 \xi_2 &= \rho \operatorname{sen} \zeta_{N-2} \dots \operatorname{sen} \zeta_2 \cos \zeta_1 \\
 \vdots & \\
 \xi_\alpha &= \rho \operatorname{sen} \zeta_{N-2} \dots \operatorname{sen} \zeta_\alpha \cos \zeta_{\alpha-1} \\
 \vdots & \\
 \xi_{N-1} &= \rho \operatorname{sen} \zeta_{N-2}
 \end{aligned} \tag{13}$$

Denotaremos o conjunto dos ângulos  $\{\theta_1, \theta_2, \dots, \theta_{N-1}, \phi_1, \phi_2, \dots, \phi_{N-1}, \zeta_1, \theta_2, \dots, \zeta_{N-2}\}$  por  $\Omega$ . Deste modo temos um sistema, com uma hiperdistância  $\rho$ , e os  $3N-4$  ângulos  $\Omega$ .

Utilizando estas coordenadas hiperesféricas e eliminando o movimento do centro de massa da eq. (11) obtemos<sup>(\*)</sup>:

$$\left[ \frac{1}{\rho^{3N-4}} \frac{\partial}{\partial \rho} (\rho^{3N-4} \frac{\partial}{\partial \rho}) + \frac{\nabla_\Omega^2}{\rho} \right] \psi(\rho; \Omega) + \frac{2}{\hbar^2} \epsilon \psi(\rho; \Omega) = \frac{2}{\hbar^2} V \psi(\rho; \Omega) \tag{14}$$

$\nabla_\Omega^2$  é o operador que contém a parte angular do Laplaciano de  $3N-3$  dimensões definido pelas coordenadas hiperesféricas. A forma explícita deste operador é<sup>(18)</sup>:

$$\begin{aligned}
 \nabla_\Omega^2 &= \sum_{\alpha=1}^{N-1} \frac{\Lambda_\alpha}{(\sigma_\alpha)^2} + \sum_{\alpha=1}^{N-2} \left\{ \left[ \operatorname{sen}^2 \zeta_{\alpha+1} \dots \operatorname{sen}^2 \zeta_{N-2} \operatorname{sen}^{(3\alpha-1)} \zeta_\alpha \cos^2 \zeta_\alpha \right]^{-1} \right. \\
 &\quad \times \left. \frac{\partial}{\partial \zeta_\alpha} \left[ \operatorname{sen}^{(3\alpha-1)} \zeta_\alpha \cos^2 \zeta_\alpha \frac{\partial}{\partial \zeta_\alpha} \right] \right\} \tag{15}
 \end{aligned}$$

onde:

$$\Lambda_\alpha = \frac{1}{\operatorname{sen} \theta_\alpha} \frac{\partial}{\partial \theta_\alpha} (\operatorname{sen} \theta_\alpha \frac{\partial}{\partial \theta_\alpha}) + \frac{1}{\operatorname{sen}^2 \theta_\alpha} \frac{\partial^2}{\partial \phi^2}$$

e

$$\sigma_\alpha = \frac{\xi_\alpha}{\rho} = \operatorname{sen} \zeta_{N-2} \dots \operatorname{sen} \zeta_\alpha \cos \zeta_{\alpha-1}$$

---

(\*)  $\epsilon$  = energia do movimento relativo.

$\nabla_{\Omega}^2$  pode ser obtido por iteração dos operadores

$$K_{\alpha}^2 = K_{\alpha-1}^2 \frac{1}{\sin \zeta_{\alpha}} + \frac{\Lambda_{\alpha-1}}{\cos^2 \zeta_{\alpha}} + \frac{1}{\sin(3N-1)} \frac{1}{\zeta_{\alpha} \cos^2 \zeta_{\alpha}} \frac{\partial}{\partial \zeta_{\alpha}} \left[ \sin^{(3N-1)} \zeta_{\alpha} \cos^2 \zeta_{\alpha} \frac{\partial}{\partial \zeta_{\alpha}} \right] \quad (16)$$

$$K_1^2 = \frac{\Lambda_1}{\sin^2 \zeta_1} + \frac{\Lambda_2}{\cos^2 \zeta_1} + \frac{1}{\sin^2 \zeta_1 \cos^2 \zeta_1} \frac{\partial}{\partial \zeta_1} \left[ \sin^2 \zeta_1 \cos^2 \zeta_1 \frac{\partial}{\partial \zeta_1} \right] \quad (17)$$

$$K_{N-2}^2 = \nabla_{\Omega}^2$$

Continuando a analogia com dois corpos devemos expandir a função  $\Psi(\rho; \Omega)$  em uma base de autofunções do operador  $\nabla_{\Omega}^2$ ,

$$\nabla_{\Omega}^2 u_{k\{\ell_i m_i\}}(\Omega) = -k(k+3N-5) u_{k\{\ell_i m_i\}}(\Omega) \quad (18)$$

A forma destas funções é

$$u_{k\{\ell_i m_i\}}(\Omega) = \prod_{\alpha=1}^{N-1} Y_{\ell_{\alpha} m_{\alpha}}(\theta_{\alpha}, \phi_{\alpha}) \prod_{j=1}^{N-2} Y_{k\{\ell_i m_i\}}^j(\zeta_j) \quad (19)$$

onde os  $Y_{\ell_{\alpha} m_{\alpha}}$  são os harmônicos esféricos correspondentes aos operadores  $\Lambda_{\alpha}$ . Os  $Y_{k\{\ell_i m_i\}}^j$  são autofunções dos operadores  $K_j^2$  (cf. eq. (16))

$$K_j^2 Y_{k\{\ell_i m_i\}}^j(\zeta_j) = k_j(k_j + 3j + 1) Y_{k\{\ell_i m_i\}}^j(\zeta_j) \quad (20)$$

Os  $Y_{k\{\ell_i m_i\}}^j$  que satisfazem esta equação são dados por (18):

$$Y_{k\{\ell_i m_i\}}^j(\zeta_i) = (\cos \zeta_j)^{\ell_{j+1}} (\sin \zeta_j)^{k_{j-1}} {}_2F_1(a, b, c, \cos^2 \zeta_j) \quad (21)$$

onde

$${}_2F_1(a, b, c, z) = 1 + \frac{ab}{c} z + \frac{a(a+1)b(b+1)}{2!c(c+1)} z^2 + \dots$$

$$\begin{aligned} a &= \frac{1}{2} (k_j - k_{j-1} - \ell_{j+1}) \\ b &= \frac{1}{2} (k_j + k_{j-1} + \ell_{j+1} + 3j + 1) \\ c &= \ell_{j+1} + \frac{3}{2} \\ k_0 &= \ell_1, \quad k_j = 2n + k_{j-1} + \ell_{j+1}, \quad n = 0, 1, 2, \dots \\ k_{N-2} &= K \end{aligned} \tag{22}$$

De outra maneira podemos dizer que os  $u_{k\{\ell_i m_i\}}$  são a parte angular dos polinômios harmônicos de grau  $k$ , ou seja das soluções da equação de Laplace:

$$\left[ \frac{1}{\rho^{3N-4}} \frac{\partial}{\partial \rho} (\rho^{3N-4} \frac{\partial}{\partial \rho}) + \frac{\nabla_\Omega^2}{\rho^2} \right] P_k(\rho; \Omega) = 0 \tag{23}$$

$$u_{k\{\ell_i m_i\}} = \rho^{-k} P_k(\rho; \Omega)$$

pois

$$\begin{aligned} \left[ \frac{1}{\rho^{3N-4}} \frac{\partial}{\partial \rho} (\rho^{3N-4} \frac{\partial}{\partial \rho}) + \frac{\nabla_\Omega^2}{\rho^2} \right] \rho^k u_{k\{\ell_i m_i\}} &= \\ = \frac{\rho^k k(k+3N-5)}{\rho^2} u_{k\{\ell_i m_i\}} + \rho^k \frac{\nabla_\Omega^2}{\rho^2} u_{k\{\ell_i m_i\}} &= 0 \end{aligned}$$

que implica em

$$\nabla_\Omega^2 u_{k\{\ell_i m_i\}} = -k(k+3N-5) u_{k\{\ell_i m_i\}} \tag{18}$$

Os  $u_{k\{\ell_i m_i\}}$  são as funções que denominamos de harmô-

íngicos hiperesféricos. Além das propriedades já descritas, estas funções devem satisfazer à condição de ortonormalidade

$$\int u_k(\Omega) u_{k' \alpha}(\Omega) d\Omega = \delta_{kk'} \delta_{\alpha\alpha}, \quad (24)$$

nde  $\alpha$  engloba o conjunto de números quânticos  $\{\ell_i m_i\}$  e  $d\Omega$  é a parte angular do elemento de volume no espaço de dimensão  $3N-3$ , que é dado por

$$d\Omega = \prod_{\alpha=1}^{N-1} \frac{d\vec{\xi}_\alpha}{\rho^{3N-4}} \quad (25)$$

$$d\vec{\xi}_\alpha = d(\vec{\xi}_\alpha)_1 d(\vec{\xi}_\alpha)_2 d(\vec{\xi}_\alpha)_3$$

utilizando as eqs. (13) obtemos

$$d\Omega = \prod_{\alpha=1}^{N-1} \sin \theta_\alpha d\theta_\alpha d\phi_\alpha \prod_{\beta=1}^{N-2} \cos^2 \xi_\beta (\sin \xi_\beta)^{3\beta-4} d\xi_\beta \quad (26)$$

#### EXEMPLOS:

1º - Para dois corpos,  $N=2$ , as soluções da equação de autovalores

$$\nabla_\Omega^2 u_{k\alpha} = - k(k+1) u_{k\alpha}$$

são os harmônicos esféricos usuais e  $k$  coincide com o autovalor do momento angular, i.e.

$$u_{k\alpha}(\Omega) \equiv Y_{\ell_m}(\theta, \phi)$$

2º - Para três corpos, N=3, desenvolvendo as funções da eq. (19) obtemos

$$u_{k\ell_1 m_1 \ell_2 m_2}(\Omega) = N Y_{\ell_1 m_1}(\theta_1, \phi_1) Y_{\ell_2 m_2}(\theta_2, \phi_2) (\cos \zeta)^{\ell_2} \\ (\sin \zeta)^{\ell_1} {}_{P_{k-\ell_1-\ell_2}}^{\ell_1 + \frac{1}{2}, \ell_2 + \frac{1}{2}} (\cos 2\zeta) \quad (27)$$

onde N é uma constante de normalização e substituimos a função hipergeométrica  ${}_2F_1$  pela sua forma em polinômios de Jacobi

$${}_r^{(t,s)}(x) = (-1)^r \frac{\Gamma(r+s+1)}{r! \Gamma(s+1)} {}_2F_1(-r, r+s+t+1, s+1, \frac{1+x}{2})$$

Das eqs. (22) temos

$$k_0 = \ell_1, \quad k_j = 2n + k_{j-1} + \ell_{j+1} \quad n = 0, 1, 2, \dots$$

$$k_{N-2} = k$$

então

$$k = 2n + \ell_1 + \ell_2 \quad n = 0, 1, 2, \dots$$

Quando o momento angular total for nulo (6):

$$k = 2n \quad n = 0, 1, 2, \dots$$

3º - Para quatro corpos, N=4, temos (8):

$$u_{k\ell_1 m_1 \ell_2 m_2 \ell_3 m_3}(\Omega) = N Y_{\ell_1 m_1}(\theta_1, \phi_1) Y_{\ell_2 m_2}(\theta_2, \phi_2) Y_{\ell_3 m_3}(\theta_3, \phi_3) \\ \times (\cos \zeta_1)^{\ell_2} (\sin \zeta_1)^{\ell_1} {}_{P_{k_1-\ell_1-\ell_2}}^{\ell_1 + \frac{1}{2}, \ell_2 + \frac{1}{2}} (\cos 2\zeta_1) \times$$

$$\times (\cos \xi_2)^{\ell_3} (\sin \xi_2)^{k_1} P_{\frac{k-k_1-\ell_3}{2}}^{(k_1 + \frac{1}{2}, \ell_3 + \frac{1}{2})} (\cos 2\xi_2) \quad (28)$$

Das eqs. (22)

$$k_1 = 2n + \ell_1 + \ell_2 \quad n = 0, 1, 2, \dots$$

$$k = 2n + k_1 + \ell_3 \quad n = 0, 1, 2, \dots$$

Com o que vimos, a expansão da função  $\Psi(\rho; \Omega)$  fica:

$$\Psi(\rho; \Omega) = \sum_{k' \alpha'} x_{k' \alpha'}(\rho) u_{k' \alpha'}(\Omega) \quad (29)$$

Chamamos os coeficientes  $x_{k' \alpha'}(\rho)$  de ondas parciais. Substituindo a expansão da eq. (29) na eq. (14) multiplicada por  $u_{k \alpha}(\Omega)$  e integrando em  $\Omega$  obtemos o sistema (5, 7, 8, 19) (cf. eq. (8)):

$$\left[ \frac{1}{\rho^{3N-4}} \frac{d}{d\rho} (\rho^{3N-4} \frac{d}{d\rho}) - \frac{k(k+3N-5)}{\rho^2} + \frac{2\varepsilon}{h^2} \right] x_{k \alpha}(\rho) = \sum_{k' \alpha'} v_{k \alpha, k' \alpha'}(\rho) x_{k' \alpha'}(\rho) \quad (30)$$

onde

$$v_{k \alpha, k' \alpha'}(\rho) = \int d\Omega u_{k \alpha}(\Omega) v u_{k' \alpha'}(\Omega) \quad (31)$$

são os elementos de matriz do potencial na base dos harmônicos hipersféricos. Como em geral os potenciais com os quais trabalhamos dependem apenas da distância  $r_{ij} = |\vec{x}_i - \vec{x}_j|$  entre pares de partículas, temos:

$$V_{k\alpha, k'\alpha'}(\rho) = \int d\Omega u_{k\alpha}(\Omega) \sum_{i>j} V(r_{ij}) u_{k'\alpha'} \quad (32)$$

Para as aplicações físicas serão úteis aqueles harmônicos que, além das propriedades já vistas, formem uma base para a representação irredutível do grupo de permutações. Um último requerimento é que a forma destas funções não dificulte o cálculo dos elementos de matriz  $V_{k\alpha, k'\alpha'}$ . Harmônicos hiperesféricos com estas propriedades foram estudados inicialmente por Simonov (6) para o problema de três corpos. São os chamados harmônicos-k. Na próxima seção veremos estas funções. O desenvolvimento histórico deste formalismo, bem como os estudos do ponto de vista da teoria de grupos podem ser vistos em Simonov (8) e Louck (9).

## 2.2 - Harmônicos-k para Três Corpos

No caso específico de três corpos utilizaremos apenas as coordenadas de Jacobi  $\xi_1$  e  $\xi_2$  (cf. eqs. (2.1.9)). A hiperdistância  $\rho$  e o ângulo  $\zeta$  ficarão definidos por

$$\begin{aligned} \rho &= \sqrt{\xi_1^2 + \xi_2^2} \\ \xi_1 &= \rho \sin \zeta \\ \xi_2 &= \rho \cos \zeta \end{aligned} \quad (1)$$

De acordo com Simonov (8) os hiperesféricos  $u_{k\alpha}$  devem conter  $3N-4 = 5$  índices (números quânticos): o número  $k$  que está relacionado ao fato dos hiperesféricos serem autofunções de  $\nabla_\Omega^2$  (cf. eq. (2.1.15)), os autovalores de momento angular e sua projeção  $l_1$  e  $m_1$  relativos a  $\xi_1$  e analogamente  $l_2$  e  $m_2$  relativos a  $\xi_2$ .

vos a  $\xi_2$ . Os números quânticos  $\ell_1$ ,  $m_1$ ,  $\ell_2$  e  $m_2$  são a subdivisão do índice  $\alpha$ , combinados no momento angular total serão  $L$ ,  $M$ ,  $\ell_1$  e  $\ell_2$ .

Escreremos, então, os harmônicos hiperesféricos para três partículas na forma da combinação

$$u_{KL\ell_1\ell_2}(\Omega) = N_{K\ell_1\ell_2} Y_{LM\ell_1\ell_2}(\theta_1\phi_1; \theta_2\phi_2) (\operatorname{sen}\zeta)^{\ell_1} (\cos\zeta)^{\ell_2} P_{k-\ell_1-\ell_2}^{\left(\ell_1 + \frac{1}{2}, \ell_2 + \frac{1}{2}\right)} (\cos^2\zeta) \quad (2)$$

onde:

$$P_r^{(\ell, s)}$$

são polinômios de Jacobi (cf. eq. (2.1.27)),

$$Y_{LM\ell_1\ell_2}(\theta_1\phi_1; \theta_2\phi_2) = \sum_{m_1 m_2} \langle LM | \ell_1 m_1 \ell_2 m_2 \rangle Y_{\ell_1 m_1}(\theta_1, \phi_1) Y_{\ell_2 m_2}(\theta_2, \phi_2) \quad (3)$$

e a constante de normalização é dada por

$$N_{K\ell_1\ell_2} = \left\{ \frac{(2K+4)\Gamma\left(\frac{k+\ell_1+\ell_2+4}{2}\right)\Gamma\left(\frac{k-\ell_1-\ell_2+2}{2}\right)}{\Gamma\left(\frac{k+\ell_1-\ell_2+3}{2}\right)\Gamma\left(\frac{k+\ell_2-\ell_1+3}{2}\right)} \right\}^{1/2} \quad (4)$$

As funções  $u_{KL\ell_1\ell_2}$ , entretanto, não formam a base das representações irreduutíveis do grupo de permutação. Para satisfazer esta condição, é necessário passar a um novo conjunto de números quânticos  $(KLm\tau)$ , ao invés de  $(KL\ell_1\ell_2)$  (8, 20, 21).

Devemos, com o intuito de chegar ao novo conjunto, de-

finir novas variáveis,

$$\begin{aligned}\vec{z} &= \xi_1 + i\vec{\xi}_2 \\ \vec{z}^* &= \xi_1 - i\vec{\xi}_2\end{aligned}\quad (5)$$

Os novos números quânticos  $v$  e  $\tau$  serão obtidos pelo uso dos operadores (8,21)

$$\hat{v} = \frac{1}{2} \left( \sum_i z_i \frac{\partial}{\partial z_i} - \sum_j z_j^* \frac{\partial}{\partial z_j^*} \right) \quad (6)$$

$$\hat{\tau} = \sum_{i,j} L_i (z_i \frac{\partial}{\partial z_i} - z_j^* \frac{\partial}{\partial z_j^*}) L_j \quad (7)$$

$\hat{v}$  está relacionado às permutações e  $\hat{\tau}$  não tem uma interpretação física bem definida (8).

Podemos escrever o novo conjunto de funções, que são os harmônicos- $k$ , como combinações das funções definidas pela eq.(2), a saber:

$$u_{kLMv\tau}(\Omega) = \sum_{\ell_1 \ell_2} C_{\ell_1 \ell_2 k v \tau} u_{KLM \ell_1 \ell_2}(\Omega). \quad (8)$$

Para alguns casos podemos encontrar os coeficientes  $C_{\ell_1 \ell_2 k v \tau}$  e algumas relações de recorrência foram dadas por Efros (22). Mais recentemente Knyr et al. (23) utilizaram um grupo de transformações canônicas para construir os harmônicos- $k$ .

Quando estudamos estados ligados é de particular interesse o nível fundamental em que o momentum angular total é nulo, no nosso caso ( $L = 0$ ). Harmônicos- $k$  com  $L = 0$  foram investigados por Simonov (6). A forma explícita destas funções é ( $v \geq 0$ )

$$u_{kv} = \sqrt{\frac{k+2}{\pi^3}} \cos \lambda v A^v \frac{P_1(v, 0)}{\frac{1}{2}(\frac{k}{2} - v)} (1 - 2A^2) \begin{cases} 1; & v \neq 0 \\ \frac{1}{\sqrt{2}}, & v = 0 \end{cases} \quad (9)$$

$$u_{k-v} = \sqrt{\frac{k+2}{\pi^3}} \sin \lambda v A^v \frac{P_1(v, 0)}{\frac{1}{2}(\frac{k}{2} - v)} (1 - 2A^2)$$

$$k = 0, 2, 4, 6, \dots$$

$$v = \frac{k}{2}, \frac{k}{2} - 2, \dots \geq 0$$

As variáveis  $A$  e  $\lambda$  ficam definidas por:

$$\xi_1^2 + \xi_2^2 = \rho^2 A \cos \lambda$$

$$2\xi_1 \cdot \xi_2 = \rho^2 A \sin \lambda \quad (10)$$

$$\rho^2 A^2 = \left[ (\xi_1^2 + \xi_2^2)^2 + 4(\xi_1 \cdot \xi_2)^2 \right]^{1/2}$$

Em termos de  $A$  e  $\lambda$  o elemento de integração angular  $d\Omega$ , para três corpos, vem expresso como:

$$d\Omega = \pi^2 A dA d\lambda \quad (11)$$

As propriedades das funções  $u_{kv}$  e  $u_{k-v}$  em relação à permutações ficam definidas pela troca

$$P_{12}\lambda = -\lambda, \quad P_{13}\lambda = -\lambda - \frac{2\pi}{3}, \quad P_{23}\lambda = -\lambda + \frac{2\pi}{3}$$

onde  $P_{ij}$  é o operador de intercâmbio das partículas  $i$  e  $j$  <sup>(6)</sup>.

Podemos verificar, prontamente, que as funções  $u_{kv}$  são simétricas em relação à troca das partículas 1 e 2. Para tanto, aplicaremos  $P_{12}$  a  $u_{kv}$

$$P_{12} u_{kv}(\lambda, A) = \sqrt{\frac{k+2}{\pi^3}} \cos(-\lambda v) A^v P_1^{(v, 0)} \left( \frac{k}{2} - v \right) (1 - 2A^2) = u_{kv}(-\lambda, A) \quad (13)$$

$$= \sqrt{\frac{k+2}{\pi}} \cos \lambda v A^v P_1^{(v, 0)} \left( \frac{k}{2} - v \right) (1 - 2A^2)$$

De uma maneira mais explícita  $P_{12}$  opera em  $\xi_1$  e  $\xi_2$ , como (6)

$$P_{12} = \begin{pmatrix} \xi_1 \\ \xi_2 \end{pmatrix} = \begin{pmatrix} -\xi_1 \\ \xi_2 \end{pmatrix} \quad (14)$$

Vejamos, por exemplo, como opera  $P_{12}$  na função  $u_{42}$ . Utilizando as eqs. (9) e (10) teremos

$$u_{42} = \left( \frac{6}{\pi^3} \right)^{1/2} \frac{1}{\rho^4} \left[ (\xi_1^2 - \xi_2^2)^2 - 4(\xi_1 \cdot \xi_2)^2 \right] \quad (15)$$

e é fácil verificar que

$$P_{12} u_{42}(\xi_1, \xi_2) = u_{42}(-\xi_1, \xi_2) = u_{42}(\xi_1, -\xi_2) \quad (16)$$

Estas funções simétricas pela troca  $1 \leftrightarrow 2$  terão, como veremos adiante, um papel crucial no estudo do nível fundamental de sistemas a três corpos.

### 2.3 - A Solução do Sistema de Equações Acopladas

O produto final do formalismo hiperesférico é o sistema de equações diferenciais acopladas, ao qual chegamos na subse

ção 2.1 (cf. eq. (21)). A dinâmica dos problemas de N corpos está toda contida neste sistema. Quando estudamos o problema de dois corpos vimos que, quando o potencial depende apenas da distância entre as partículas, o sistema descrito pelas eqs.(2.1.8) é desacoplado. No caso dos harmônicos hiperesféricos se o potencial depende apenas da hiperdistância  $\rho$ , o sistema de eqs.(2.1.30) é desacoplado.

Vejamos dois casos de interesse:

1º - O Oscilador Harmônico Generalizado (5,19,24,25)

2º - O Potencial Pseudo-Coulombiano (5).

1º - O potencial do oscilador harmônico para duas partículas é dado por (26):

$$V(\vec{x}_{ij}) = \frac{m\omega^2}{2} (\vec{x}_i - \vec{x}_j)^2 \quad (1)$$

Para N partículas idênticas teremos (19,24)

$$\sum_{i>j=1}^N V(\vec{x}_{ij}) = \frac{m\omega^2}{2} \sum_{i>j}^N (\vec{x}_i - \vec{x}_j)^2 = \frac{\omega^2 N}{2} \sum_{\alpha=1}^{N-1} \xi_{\alpha}^2 = \frac{\omega^2 N}{2} \rho^2 \quad (2)$$

Para este potencial a eq. (2.1.30) é desacoplada, sua forma será (19):

$$\left[ \frac{1}{3N-4} \frac{d}{d\rho} (\rho^{3N-4} \frac{d}{d\rho}) - \frac{k(k+3N-5)}{\rho^2} + \frac{2\varepsilon_{nk}}{\hbar^2} \right] \phi_{nk}(\rho) = \frac{\omega^2 N}{\hbar^2} \rho^2 \phi_{nk}(\rho) \quad (3)$$

A solução desta equação é dada por (19,24):

$$\phi_{nk}(\rho) = \left[ \frac{2n!}{\Gamma(k+n+\frac{3N-3}{2})} \right]^{1/2} \xi^k e^{-\frac{\xi^2}{2}} {}_1F_1(-n_1 k + \frac{3N-3}{2}; \xi^2) \quad (4)$$

onde

$$\xi = \alpha \rho \quad , \quad \alpha^2 = \frac{\omega_N^2}{\hbar^2}$$

A energia  $\epsilon_{nk}$  será dada por

$$\begin{aligned} \epsilon_{nk} &= \left(2n + k + \frac{3N-3}{2}\right) \sqrt{N} \hbar \omega \\ F_1(a, b; z) &= 1 + \frac{a}{b} \frac{z}{1!} + \frac{a(a+1)}{b(b+1)2!} z^2 + \dots \end{aligned} \quad (5)$$

29 - Esta é uma outra situação, que não está relacionada a um potencial entre pares, como acontece com o oscilador harmônico. A forma do potencial é

$$V(\rho) = -\frac{a^2}{\rho} \quad (6)$$

Daí o nome que utilizamos, potencial pseudo-coulombiano. Com  $V(\rho)$  escrita na forma da eq. (6) e definindo-se:

$$\begin{aligned} R_{nk} &= \rho^{\frac{3N-4}{2}} \phi_{nk} \\ x^2 &= 2|E| \quad , \quad E < 0 \end{aligned} \quad (7)$$

$$\xi = 2x\rho$$

Podemos reescrever a eq. (21) na forma

$$\frac{d^2}{d\xi^2} R_{nk} + \left[ \frac{2a^2}{x} \frac{1}{2\xi} - \frac{1}{4} - \frac{(2k+3N-6)(2k+3N-4)}{4\xi^2} \right] R_{nk} = 0 \quad (8)$$

De Magnus et al. (27) temos

$$f'' + \left( \frac{2n+\alpha+1}{2z} - \frac{1}{4} + \frac{1-\alpha^2}{4z^2} \right) f = 0 \quad (9)$$

$$f(z) = N e^{-z/2} z^{(\alpha+1)/2} {}_1F_1(-n, \alpha+1; z) \quad (10)$$

Portanto, combinando as eqs. (7), (8), (9) e (10), obtemos:

$$\phi_{nk}(\rho) = N e^{-x\rho} \rho^k {}_1F_1(-n, 2k+3N-4; 2x\rho) \quad (11)$$

onde  $N$  é uma constante de normalização,

$$x^2 = 2|E| \equiv 2|\epsilon_{nk}| \quad ,$$

$$\epsilon_{nk} = -\frac{2a^4}{(2n+2k+3N-4)^2} \quad . \quad (12)$$

Os casos estudados são situações específicas nas quais é possível uma solução completa do sistema de eqs. (2.1.30). Quando não ocorre a separação das equações, torna-se necessário resolver o sistema infinito de equações acopladas. Uma das maneiras mais utilizadas para efetivar a solução do sistema consiste em expandir a função de onda "hiperradial"  $x_{kv}(\rho)$  num conjunto completo de funções  $\{\phi_{nkv}(\alpha\rho)\}$ , com a normalização correta

$$\int_0^\infty |\phi_{nkv}(\xi)|^2 \xi^{3N-4} d\xi = 1 \quad , \quad \xi = \alpha\rho \quad (13)$$

A expansão de  $x_{kv}(\rho)$  terá a forma (19, 25):

$$x_{kv}(\rho) = \sum_n a_{nkv} \phi_{nkv}(\alpha\rho) \quad (14)$$

Tomando-se os elementos de matriz, nesta nova base, dos operadores existentes no sistema (eqs. (2.1.30)), podemos transformá-lo numa equação matricial de autovalores, a saber (19)

$$\sum_{n'} a_{nkv} \langle \phi_{nkv} | T | \phi_{n'kv} \rangle + \sum_{n'k'v'} a_{n'k'v'} \langle \phi_{nkv} | v_{kv, k'v'} | \phi_{n'k'v'} \rangle = -x^2 a_{nkv} \quad (15)$$

onde

$$T' = \frac{1}{\rho^{3N-4}} \frac{d}{d\rho} (\rho^{2N-4} \frac{d}{d\rho}) - \frac{k(k+3N-5)}{\rho^2} \quad (16)$$

é o operador da energia cinética e  $x^2 = 2|E|$ ,  $E < 0$  ( estados ligados).

Num cálculo real devemos cortar as expansões das eqs. (14) e (2.1.20) para valores razoáveis de  $n$  e  $k$ . O parâmetro  $\alpha$  contido nas funções nos diz que para cada  $\alpha$  fixo as funções são uma base completa, ou seja, no limite  $n \rightarrow \infty$  a família de bases com parâmetro  $\alpha$  deve fornecer um mesmo resultado.

Uma vez que temos o sistema de eqs. (15) podemos resolvê-lo pelos métodos usuais de diagonalização, obtendo simultaneamente os estados fundamental e excitado para um mesmo número quântico. Podemos também, quando se queira, obter a função de onda na representação das coordenadas.. O parâmetro  $\alpha$  pode também ser usado de uma maneira variacional, o que quer dizer que podemos procurar o  $\alpha$  que nos forneça o melhor valor para a energia do estado fundamental. Como já apontamos, quando  $n$  for suficientemente grande o cálculo não será sensível à mudança do parâmetro.

A escolha, quase que natural, para o conjunto  $\{\phi_{nkv}\}$  são as funções do oscilador harmônico generalizado (19, 25). Estas funções, como já vimos, são a solução das eqs. (2.1.30) para um potencial do tipo oscilador harmônico entre pares de partículas e é o único exemplo que conhecemos de interação entre pares que leva a separação das eqs. (2.1.30). As funções do oscilador (eq. (4)) formam um conjunto completo e surgem de um potencial físico. De modo análogo utilizam-se expansões de funções de onda,

para o problema de dois corpos (cf. eq. (2.1.8)), numa base de funções do oscilador harmônico usual (28).

Uma crítica que costuma ser feita em relação às funções do oscilador (eq. (4)) é o fato de que elas não têm o comportamento das funções  $x_{kv}(\rho)$  no infinito. Para estas temos

$$x_{kv}(\rho) \propto e^{-x\rho} \quad (17)$$

$\rho \rightarrow \infty$

enquanto que para as funções do oscilador harmônico generalizado  $\phi_{nk}$

$$\phi_{nk}(\xi) \propto e^{-\frac{1}{2}\xi^2} \quad (18)$$

$\xi \rightarrow \infty$

Esta discrepância pode ser corrigida como o faz H.T. Coelho (19). Contudo, como ele próprio assinala (19, 29), para problemas como o cálculo da energia de ligação, não haverá diferença sensível.

Para o problema de três corpos, as funções do oscilador harmônico generalizado (eq. (4)) têm a forma

$$\phi_{nk} = \left[ \frac{2n!}{\Gamma(k+n+3)} \right]^{1/2} \rho^{2k} e^{-\frac{1}{2}\alpha\rho^2} {}_1F_1(-n, k+3; \alpha\rho^2) \quad (19)$$

e teremos para a energia cinética os elementos de matriz

$$\begin{aligned} \langle \phi_{nk} | T | \phi_{n'k'} \rangle &= \alpha \delta_{kk'} \left[ (2n+k+3)\delta_{nn'} + \sqrt{n(n+k+2)} \delta_{n-1,n'} \right. \\ &\quad \left. + \sqrt{n'(n'+k'+2)} \delta_{n,n'-1} \right] \end{aligned} \quad (20)$$

Os elementos de matriz  $V_{kv,k'v'}$ , para o potencial de

Coulomb (como veremos adiante) tem a forma

$$V_{kv, k'v'} \propto \frac{1}{\rho} \quad (21)$$

e os elementos de matriz deste operador na base dos  $\phi_{nk}$  serão

$$\begin{aligned} \langle \phi_{nk} | V_{kv, k'v'} | \phi_{n'k'} \rangle &\approx \int \phi_{nk} \frac{1}{\rho} \phi_{n'k'} \rho^5 d\rho \\ &\approx \sqrt{\pi} \left[ \frac{n! n'!}{(k+n+2)! (k'+n'+2)!} \right]^{1/2} \sum_{m=0}^n \sum_{\ell=0}^{n'} (-1)^m \binom{n+k+2}{n-m} \frac{1}{m!} (-1)^\ell \\ &\times \binom{n'+k'+2}{n'-\ell} \frac{1}{\ell!} \frac{[(k+k'+2m+2\ell+3)!]}{(\frac{k}{2} + \frac{k'}{2} + m+\ell+2)} \end{aligned} \quad (22)$$

Outros conjuntos também utilizados para a solução do sistema (eq. (2.1.30)) são:

$$\alpha^3 \left[ \frac{n!}{(n+5)!} \right]^{1/2} L_n^{(5)}(\alpha\rho) e^{-\frac{1}{2}\alpha\rho} \quad (23)$$

proposto por Visschers et al. (30), e

$$N_{sn}(b\rho)^{5/2} L_n^s(b\rho) e^{-b\rho/2} \quad (24)$$

proposto por Demin et al. (31). Note-se que este último conjunto depende de dois parâmetros  $b$  e  $s$  que devem ser variados levando-se em conta a melhor convergência da expansão (eq. (14)). Além disso, pode-se expressar o parâmetro  $s$  como

$$s = s_0 + \gamma k \quad -(25)$$

onde  $k$  vem dos harmônicos- $k$  utilizados. Estes dois conjuntos visam o limite assintótico correto, entretanto, ao contrário do que ocorre com as funções do oscilador, não surgem de um potencial físico.

## CAPITULO 3

### ELEMENTOS DE MATRIZ DO POTENCIAL PARA O PROBLEMA COULOMBIANO DE TRÊS CORPOS

#### 3.1 - O Potencial nas Novas Coordenadas

A interação eletrostática é um dos exemplos para potenciais que dependem apenas das distâncias entre pares de partículas  $r_{ij} = |\vec{x}_i - \vec{x}_j|$ . Para escrevê-lo, nas coordenadas de Jacobi, devemos encontrar  $r_{ij}$  em função dos  $\xi_\alpha$  (cf. eq. (2.1.9)). No caso de três corpos temos

$$\vec{\xi}_1 = \sqrt{\frac{m_1 m_2}{m_1 + m_2}} (\vec{x}_1 - \vec{x}_2) \quad (1)$$

$$\vec{\xi}_2 = \sqrt{\frac{m_3 (m_1 + m_2)}{m_1 + m_2 + m_3}} \left[ \frac{m_1 \vec{x}_1 + m_2 \vec{x}_2}{m_1 + m_2} - \vec{x}_3 \right]$$

Achar as coordenadas relativas das partículas 1 e 2 é trivial. Das eqs. (1) temos

$$\vec{x}_1 - \vec{x}_2 = \sqrt{\frac{m_1 + m_2}{m_1 m_2}} \vec{\xi}_1 \quad (2)$$

Para encontrar  $\vec{x}_2 - \vec{x}_3$  podemos, por exemplo, fazer

$$a \vec{\xi}_1 + b \vec{\xi}_2 = \vec{x}_2 - \vec{x}_3 \quad (3)$$

Substituindo os valores da eq. (1) na eq. (3), obtemos:

$$a \sqrt{\frac{m_1 m_2}{m_1 + m_2}} (\vec{x}_1 - \vec{x}_2) + b \sqrt{\frac{m_3(m_1 + m_2)}{m_1 + m_2 + m_3}} \left[ \frac{m_1 \vec{x}_1 + m_2 \vec{x}_2}{m_1 + m_2} - \vec{x}_3 \right] = \vec{x}_2 - \vec{x}_3 \quad (4)$$

Lembrando que  $x_1$ ,  $x_2$  e  $x_3$  são independentes, teremos

$$a = -\sqrt{\frac{m_1}{m_2(m_2 + m_1)}} \quad , \quad b = \sqrt{\frac{m_1 + m_2 + m_3}{m_3(m_1 + m_2)}} \quad (5)$$

logo,

$$\sqrt{\frac{m_1 + m_2 + m_3}{m_3(m_1 + m_2)}} \vec{\xi}_2 - \sqrt{\frac{m_1}{m_2(m_1 + m_2)}} \vec{\xi}_1 = \vec{x}_2 - \vec{x}_3 \quad (6)$$

De modo análogo temos

$$\sqrt{\frac{m_1 + m_2 + m_3}{m_3(m_1 + m_2)}} \vec{\xi}_2 + \sqrt{\frac{m_2}{m_1(m_1 + m_2)}} \vec{\xi}_1 = \vec{x}_1 - \vec{x}_3 \quad (7)$$

Quando  $m_1 = m_2 = m_3 = m$ , absorvendo a massa em  $\xi_1$  e  $\xi_2$ , as coordenadas relativas terão a forma (6)

$$\sqrt{2} \vec{\xi}_1 = \vec{x}_1 - \vec{x}_2$$

$$\sqrt{\frac{3}{2}} \vec{\xi}_2 - \frac{\vec{\xi}_1}{\sqrt{2}} = \vec{x}_2 - \vec{x}_3 \quad (8)$$

$$\sqrt{\frac{3}{2}} \vec{\xi}_2 + \frac{\vec{\xi}_1}{\sqrt{2}} = \vec{x}_1 - \vec{x}_3$$

De maneira geral, para um potencial que dependa apenas

da distância entre pares de partículas, teremos a seguinte forma funcional:

$$\begin{aligned}
 V_{123}(\xi_1, \xi_2) = & V_{12} \left[ \left| \sqrt{\frac{m_1+m_2}{m_1 m_2}} \xi_1 \right| \right] + V_{13} \left[ \left| \sqrt{\frac{m_1+m_2+m_3}{m_3(m_1+m_2)}} \xi_2 \right. \right. \\
 & \left. \left. + \sqrt{\frac{m_2}{m_1(m_1+m_2)}} \xi_1 \right| \right] + V_{23} \left[ \left| \sqrt{\frac{m_1+m_2+m_3}{m_3(m_1+m_2)}} \xi_2 \right. \right. \\
 & \left. \left. - \sqrt{\frac{m_1}{m_2(m_1+m_2)}} \xi_1 \right| \right]
 \end{aligned} \tag{9}$$

No formalismo dos harmônicos-k utilizamos as novas variáveis (eqs. (2.2.10)).

$$\begin{aligned}
 A \cos \lambda &= \frac{\xi_1^2 - \xi_2^2}{\rho^2} \\
 A \sin \lambda &= \frac{2\xi_1 \xi_2}{\rho^2} \\
 \rho^2 &= \xi_1^2 + \xi_2^2
 \end{aligned} \tag{10}$$

Desenvolvendo  $(a\xi_1 + b\xi_2) \cdot (a\xi_1 + b\xi_2)$  e substituindo  $\xi_1$  e  $\xi_2$  das eqs. (10) encontramos (11,12)

$$\left| b\xi_2 + a\xi_1 \right| = \rho \left( \frac{a^2+b^2}{2} \right)^{1/2} \left[ 1 + \frac{a^2-b^2}{a^2+b^2} A \cos \lambda + \frac{2ba}{a^2+b^2} A \sin \lambda \right]^{1/2} \tag{11}$$

Podemos notar que

$$\left( \frac{a^2-b^2}{a^2+b^2} \right)^2 + \left( \frac{2ba}{a^2+b^2} \right)^2 = 1 \tag{12}$$

o que nos leva a interpretar estes coeficientes como senos e cosenos, de um certo ângulo  $\delta$

$$\cos \delta = \frac{a^2 - b^2}{a^2 + b^2} \quad . \quad (13)$$

$$\operatorname{sen} \delta = \frac{2ab}{a^2 + b^2}$$

Portanto, fazendo uso da eq. (11) temos para

$$\left| \sqrt{\frac{m_1 + m_2 + m_3}{m_3(m_1 + m_2)}} \xi_2 + \sqrt{\frac{m_2}{m_1(m_1 + m_2)}} \xi_1 \right| = \rho \left( \frac{a^2 + b^2}{2} \right)^{\frac{1}{2}} \left[ 1 + A \cos \delta \cos \lambda + A \operatorname{sen} \delta \operatorname{sen} \lambda \right]$$

$$= \rho \left( \frac{a^2 + b^2}{2} \right)^{\frac{1}{2}} \left[ 1 + A \cos (\lambda - \delta) \right] \quad (14)$$

$$\delta = \cos^{-1} \left( \frac{a^2 - b^2}{a^2 + b^2} \right) = \cos^{-1} \left( \frac{m_2 m_3 - m_1 m_1 - m_1 m_2 - m_1 m_3}{m_2 m_3 + m_1 m_1 + m_1 m_2 + m_1 m_3} \right) \quad (15)$$

$$a^2 + b^2 = \frac{1}{m_1} + \frac{1}{m_3} \quad (16)$$

Do mesmo modo para

$$\left| \sqrt{\frac{m_1 + m_2 + m_3}{m_2(m_1 + m_2)}} \xi_2 - \sqrt{\frac{m_1}{m_2(m_1 + m_2)}} \xi_1 \right|$$

$$\delta = \cos^{-1} \left( \frac{m_1 m_3 - m_1 m_2 - m_2 m_2 - m_2 m_3}{m_1 m_3 + m_1 m_2 + m_2 m_2 + m_2 m_3} \right) \quad (17)$$

$$a^2 + b^2 = \frac{1}{m_2} + \frac{1}{m_3} \quad (18)$$

No caso simples de  $\left| \sqrt{\frac{m_1 + m_2 + m_3}{m_1 m_2}} \xi_1 \right|$ ,  $b = 0$  (cf. eq.

(2)) e portanto  $\delta = 2\pi$ , logo

$$\left| \sqrt{\frac{m_1+m_2}{m_1 m_2}} \xi_1 \right| = \rho \sqrt{\frac{m_1+m_2}{2m_1 m_2}} \left[ 1 + A \cos \lambda \right] \quad (19)$$

Se a situação investigada for a do íon  $e^- e^+ e^-$ , ou seja, três massas iguais, temos (12)

$$\begin{aligned} \cos \delta &= -\frac{1}{2} \\ \sin \delta &= \frac{\sqrt{3}}{2} \end{aligned} \quad (20)$$

logo,

$$\delta = \frac{2\pi}{3} \quad (21)$$

Quando estudamos sistemas como o íon  $H^-$  ou o átomo do Hélio, devemos separar duas situações: uma em que consideramos a massa do núcleo infinita e outra em que utilizamos as massas reais. A escolha depende da aproximação desejada.

No caso em que usamos as massas reais temos da eq. (17)

$$\delta = \cos^{-1} \left( -\frac{m}{m+M} \right) \quad (22)$$

onde consideramos  $m_1 = m_2 = m$  e  $m_3 = M$  para melhor aproveitar a simetria das equações.

Quando fizermos a massa do núcleo tender ao infinito,

$$\delta = \cos^{-1}(0) = \frac{\pi}{2} \quad (23)$$

Portanto, para o caso em que duas das três massas são iguais temos, das eqs. (11), (14) e (22), que a forma do potencial de Coulomb será:

$$v_{123} = \frac{1}{\rho} \left[ \frac{\sqrt{2}}{a} (1 + A \cos \lambda)^{-1/2} - z \sqrt{\frac{2}{a^2 + b^2}} \left( 1 + A \cos(\lambda - \delta) \right)^{-1/2} \right. \\ \left. - z \sqrt{\frac{2}{a^2 + b^2}} \left( 1 + A \cos(\lambda + \delta) \right)^{-1/2} \right] \quad (24)$$

Podemos chegar a uma forma ainda mais conveniente utilizando a relação (11, 27)

$$(1-z)^P = z^{2t+p} \frac{1}{\sqrt{\pi}} \Gamma(t) \Gamma(t+p+\frac{1}{2}) \sum_{n=0}^{\infty} \frac{(n+t)(-P)_n}{\Gamma(n+2t+p+1)} c_n^t(z) \quad (25)$$

$$-1 < z < 1 \begin{cases} t > -1-2p & \text{se } t \geq 0 \\ t > -p-\frac{1}{2} & \text{se } -\frac{1}{2} < t \leq 0 \end{cases}$$

Os  $c_n^t$  são polinômios de Gegenbauer (27). No nosso caso podemos colocar  $p = -\frac{1}{2}$  e  $t = 1$ . Finalmente, o potencial de Coulomb terá a forma da expansão

$$v_{123} = \frac{2^{7/2}}{\pi \rho} \sum_{n=0}^{\infty} \frac{(\frac{n+1}{2})(-1)^n}{(2n+3)(2n+1)} \left[ \frac{\sqrt{2}}{a} c_n^1(A \cos \lambda) \right. \\ \left. - z \sqrt{\frac{2}{a^2 + b^2}} c_n^1(A \cos(\lambda - \delta)) - z \sqrt{\frac{2}{a^2 + b^2}} c_n^1(A \cos(\lambda + \delta)) \right]. \quad (26)$$

### 3.2 - Os Elementos de Matriz

Os elementos de matriz do potencial são dados pela eq. (2.1.20),

$$v_{kv, k'v'}(\rho) = \int u_{kv} v_{123} u_{k'v'} d\Omega \quad (1)$$

Estamos investigando o nível fundamental, com momentum angular total nulo, de sistemas nos quais duas das três partículas são idênticas. A função de spin das partículas idênticas se refere, portanto, o singlete. Para que a função de onda total do sistema (eq. (2.1.29)), permaneça antisimétrica pela troca das coordenadas espaciais destas duas partículas, é necessário que os harmônicos- $k$  que aparecem na expansão da função de onda (eq. (2.1.29)) sejam simétricos, relativamente à troca das coordenadas destas partículas (que por conveniência são as etiquetadas 1 e 2). Os com esta propriedade são precisamente os de  $v$  positivo (cf. eq. (2.2.13)).

Substituindo a forma explícita destes harmônicos na integral que define os elementos  $\psi_{kv,k'v'}(\rho)$ , obtemos (7):

$$\begin{aligned} \psi_{kv,k'v'}(\rho) = & -\frac{2\sqrt{(k+2)}(k'+2)}{\pi} \int_0^1 A^{v+v'+1} p_{(k+2)v}/4(1-2A^2) \\ & \times p_{(k'-2v)/4(1-2A^2)}^{(v',0)} dA \int_0^{2\pi} v_{123} \cos(v\lambda) \cos(v'\lambda) d\lambda \end{aligned} \quad (2)$$

Utilizando a expansão do potencial (eq.(3.1.26)), temos

$$\begin{aligned} \psi_{kv,k'v'}(\rho) = & -\frac{8}{3\pi\rho} \sum_{n=0}^{\infty} \frac{(n+1)(-1)^n}{(2n+3)(2n+1)} \frac{6\sqrt{(k+2)}(k'+2)}{\pi} \int_0^1 A^{v+v'+1} \\ & \times p_{(k-2v)/4(1-2A^2)}^{(v,0)} dA \frac{1}{2} \int_0^{2\pi} \left[ \cos((v+v')\lambda) \right. \\ & \left. + \cos(|v-v'|\lambda) \right] \left[ \frac{\sqrt{2}}{a} c_n^1(A \cos \lambda) - z \sqrt{\frac{2}{a^2+b^2}} c_n^1(A \cos(\lambda-\delta)) \right. \\ & \left. - z \sqrt{\frac{2}{a^2+b^2}} c_n^1(A \cos(\lambda+\delta)) \right] d\lambda \end{aligned} \quad (3)$$

As integrais que se encontram na integração em  $\lambda$  são

do tipo

$$\int_0^{2\pi} C_n^1 (A \cos \lambda) \begin{cases} \cos m\lambda \\ \sin m\lambda \end{cases} d\lambda = J_{nm} \quad (4)$$

na notação de Simonov (7). O seu resultado para  $\cos(m\lambda)$  é

$$J_{nm} = \begin{cases} 2\pi A^m P_{(n-m)/2}^{(m,0)} (1-2A^2)(-1)^{(n-m)/2}, & n-m \text{ par} \\ 0 & , n-m \text{ ímpar ou } < 0 \end{cases} \quad (5)$$

Para  $\sin(m\lambda)$  o resultado é nulo. Deste modo

$$\int_0^{2\pi} C_n^1 (A \cos(\lambda \pm \delta)) \cos m\lambda = \cos(m\delta) J_{nm} \quad (6)$$

teremos, então como resultado da integração em  $\lambda$  da eq. (3)

$$\sum_{n=0}^{\infty} A_n \left\{ \left[ \frac{\sqrt{2}}{a} - 2Z \sqrt{\frac{2}{a^2+b^2}} \cos((v+v')\delta) \right] J_{n(v+v')} \right. \\ \left. + \left[ \frac{\sqrt{2}}{a} - 2Z \sqrt{\frac{2}{a^2+b^2}} \cos(|v-v'|\delta) \right] J_{n|v-v'|} \right\} \quad (7)$$

onde

$$\sum_n A_n J_{nm} = \frac{2^{7/2}}{\pi p} \sum_n \frac{(n+1)(-1)^n}{(2n+3)(2n+1)} J_{nm} \quad (8)$$

O somatório em  $n$ , apesar de formalmente variar de zero ao infinito, é em verdade controlado pelo grau dos polinômios de Jacobi e pelas propriedades dos  $J_{nm}$ . Convencionemos:

$$\begin{aligned}
 v+v' &= N_{\max} \\
 |v-v'| &= N_{\min} \\
 \frac{k+2v}{4} &= N_1 \\
 \frac{k'+2v'}{4} &= N_2
 \end{aligned} \tag{9}$$

Pela definição dos  $v_{nm}$  (eq. (5)) podemos verificar que na eq.(7) a soma terá início em  $N_{\min}$ . Notando que os polinômios de Jacobi  $p_n^{\alpha, \beta}(1-2A^2)$  tem grau  $2n$  em  $A$ , a maior potência em  $A$  dos harmônicos envolvidos é  $2N_1+2N_2$  e para estas potências as integrais em  $A$  terão a forma:

$$\int_0^1 A dA A^{N_{\max}+2N_1+2N_2} J_{n, N_{\min}} = \int_0^1 A dA A^{N_{\max}+N_{\min}+2N_1+2N_2} p_{n-N_{\min}}^{(N_{\min}, 0)} \frac{(1-2A^2)^2}{2} \tag{10}$$

$$\int_0^1 A dA A^{N_{\max}+2N_1+2N_2} J_{n, N_{\max}} = \int_0^1 A dA A^{2N_{\max}+2N_1+2N_2} p_{n-N_{\max}}^{(N_{\max}, 0)} \frac{(1-2A^2)^2}{2}$$

Se fizermos a mudança de variáveis  $x = 1-2A^2$  as integrais das eqs. (10) serão equivalentes a<sup>(32)</sup>:

$$\int_{-1}^1 (1-x)^\rho p_n^{(\alpha, 0)}(x) dx = \frac{2^{\rho+1} \Gamma(\rho+1) \Gamma(n+1) \Gamma(\alpha-\rho+n)}{n! \Gamma(\alpha-\rho) \Gamma(\rho+n+2)} \tag{11}$$

que só é diferente de zero para valores em que

$$n + \alpha \leq \rho \tag{12}$$

Aplicando esta condição nas eqs. (10); obtemos

$$\frac{n+N_{\min}}{2} \leq \frac{N_{\max}+N_{\min}}{2} + N_1 + N_2 \tag{13}$$

como condição para que as integrais sejam definidas. Além disso das condições sobre os  $J_{nm}$  temos (eqs. (5) e (10)) que o menor valor para  $n$  é

$$n = N_{\min} \quad (14)$$

Fazendo  $j = n + N_{\min}/2$  podemos modificar a soma da eq. (8) para

$$\sum_{j=I_{\min}}^{I_{\max}} \frac{(2j-I_{\min}+1)(-1)^{j-I_{\min}}}{(4j-2I_{\min}+3)(4j-2I_{\min}+1)} J_{(j-I_{\min})m} \quad (15)$$

onde

$$I_{\min} = N_{\min}$$

$$I_{\max} = \frac{N_{\max} + N_{\min}}{2} + N_1 + N_2$$

Em resumo, para calcular os elementos de matriz do potencial (eq. (3)), devemos efetuar a integração em  $\lambda$ , a soma que decorre de  $I_{\min}$  até  $I_{\max}$ , a substituição da forma explícita dos polinômios de Jacobi que ocorrem na integração e finalmente, efetuar as integrais das potências de  $A$ . Toda esta metodologia de cálculo pode ser sintetizada num programa de computador que realize cálculos algébricos. Isto será visto na próxima sub-seção.

### 3.3 - Cálculo Efetivo dos $V_{kv, k'v'}$

A nossa experiência no cálculo dos elementos de matriz do potencial, indicou como conveniente a utilização de um programa de computador que efetue cálculos algébricos, o que possibilita um controle acurado das cancelações que surgem do desenvolvimento dos polinômios, permitindo inclusive que se obtenham resul-

tados sob a forma de quocientes. O programa Schoonschip vem sendo utilizado há vários anos no CERN e outros centros de pesquisa em problemas de altas energias (eletrodinâmica quântica, supersimetria, etc). Recentemente, este programa foi implantado no CBPF. Vejamos uma saída típica deste programa no caso dos elementos de matriz  $V_{10,1;k^i\nu^i}$ , de  $e^-e^+e^-$ , detalhando o seu procedimento.

```

C NU': 0 1 2 0 3 1 4 2 0 5 3 1
C RA': 0 2 4 4 6 6 8 8 10 10 10
C***** **** * ***** * ***** * ***** * ***** * ***** * ***** *
C 1 2 3 1 4 2 5 3 1 6 4 2 NMAX
C 1 0 1 1 2 0 3 1 4 2 0 IMIN=NMIN
C 0 1 1 1 1 1 1 1 1 1 1 IDTF
C 2 2 2 2 2 2 2 2 2 2 2 N1
C 0 0 0 1 C1 0 1 1 2 0 1 2 N2
C 3 3 4 4 5 4 6 5 5 7 6 6 TMAX
C 1 1 1 1 1 1 1 1 1 1 1 M1
C 0 1 2 0 3 1 4 2 0 5 3 1 M2
C***** **** * ***** * ***** * ***** * ***** * ***** * ***** *
C
C 10
S A,AA,B,BB,C,CC,C1,C2,SUM,R2,A2,UMA2,C0,C1,C2,C3,C4,C5,C6,
C C01,C11,C8,C88,C88,C9,C9,C10,C101,C110,C111
I J=R,N=P,K=R,N1=R,N2=R
F ROOT,FAC,JAPOL,PMIN,DEN,DBB1
D FAC(K)=2,-2,-1,2,2,-1,2,2,-1,2,2,-1
Z SUM=C0*DS(J,1,5,(B**J*FACT(J,1)*(-1)**J))
Z SUM1=C1*DS(J,0,3,(B**J*FACT(J,0)*(-1)**J))
Z SUM2=C2*DS(J,1,4,(B**J*FACT(J,1)*(-1)**J))
Z SUM3=C3*DS(J,1,0,(B**J*FACT(J,1)*(-1)**J))
Z SUM4=CU*DS(J,2,5,(B**J*FACT(J,2)*(-1)**J))
Z SUM5=C5*DS(J,0,4,(B**J*FACT(J,0)*(-1)**J))
Z SUM6=C6*DS(J,3,6,(B**J*FACT(J,3)*(-1)**J))
Z SUM7=C7*DS(J,1,6,(B**J*FACT(J,1)*(-1)**J))
Z SUM8=CB*DS(J,1,9,(B**J*FACT(J,1)*(-1)**J))

```

Tabela 1 - Valores dos índices e expressões dos elementos de matriz.

Inicialmente vejamos a Tab. 1. A letra C no início de uma linha indica um comentário, i.é, uma instrução não operativa (como em Fortran). N é o número de cifras significativas desejadas no cálculo de números (o programa admite uma grande precisão), S abrange os símbolos declarados para o programa, I os índices e F as funções que serão utilizadas no cálculo (incluindo as próprias do programa); D é uma espécie de dado; Z é uma instrução para que se calcule a expressão que a segue na mesma linha. Esta expressão no nosso caso traduz a forma funcional dos

elementos de matriz do potencial e no programa os chamamos de SUM, SUM1, ... . Sua forma é

$$\text{SUM} = C * \text{DS}(J, \text{IMIN}, \text{IMAX}, (B * J * \text{FACT}(J, \text{IMIN}) * (-1)^J)) \quad (1)$$

DS é um comando de SCHOONSCHIP e soma no índice J, de IMIN até IMAX, a expressão contida nos parênteses. Isto traduz a soma que se faz nas integrais  $J_{nm}$  (cf. eq. (3.2.7)). A expressão FACT é dada por (cf. eq. (3.2.15))

$$\text{FACT}(J, \text{IMIN}) = (2J - \text{IMIN} + 1) / (4J - 2\text{IMIN} + 1) / (4J - 2\text{IMIN} + 3) \quad (2)$$

O termo B aparece para que se contem as potências em J. Cada termo  $C * B^J$  será substituído pela expressão conveniente para a continuidade do cálculo.

Os índices IMIN e IMAX dependem do grau dos polinômios envolvidos na integração (cf. eq. (3.2.9)). Estes e outros índices que utilizamos são sugeridos pela estrutura do cálculo e são definidos por

$$\begin{aligned} \text{NMAX} &= v + v' \\ \text{IMIN} &= \text{NMIN} = |v - v'| \\ \text{IDIF} &= (\text{NMAX} - \text{NMIN}) / 2 \\ \text{N1} &= (k - 2v) / 4 \\ \text{N2} &= (k' - 2v') / 4 \\ \text{IMAX} &= (\text{NMAX} + \text{NMIN}) / 2 + \text{N1} + \text{N2} \\ \text{M1} &= v \\ \text{M2} &= v' \end{aligned} \quad (3)$$

O passo seguinte é a substituição dos  $C_0, C_1, \dots$ , multiplicados como os termos do somatório DS, por uma expressão conveniente, que corresponde à integração sobre  $\lambda$  na eq. (3.2.3)

```

ID, C0*B**N+=C0 1*A* . FAC(1)*JAPOL(N,1,1,A) +
    C0 1*DT(N-1)*A* . FAC(1)*JAPOL(N,0,1,A) -
ID, C1*B**N+=C1 1*A* . FAC(1)*JAPOL(N,0,0,A) -
    C1 1*DT(N-1)*A**2*FAC(2)*JAPOL(N,1,2,A) -
ID, C2*B**N+=C2 1*A* . FAC(1)*JAPOL(N,1,1,A) -
    C2 1*DT(N-2)*A**3*FAC(3)*JAPOL(N,2,3,A) -
ID, C3*B**N+=C3 1*A* . FAC(1)*JAPOL(N,1,1,A) +
    C3 1*DT(N-1)*A* . FAC(1)*JAPOL(N,1,1,A) -
ID, C4*B**N+=C4 1*A**2*FAC(2)*JAPOL(N,3,4,A) -
    C4 1*DT(N-3)*A**4*FAC(1)*JAPOL(N,0,0,A) -
ID, C5*B**N+=C5 1*A* . FAC(3)*JAPOL(N,0,0,A) -
    C5 1*DT(N-1)*A**2*FAC(2)*JAPOL(N,1,2,A) -
ID, C6*B**N+=C6 1*A**3*FAC(3)*JAPOL(N,3,3,A) -
    C6 1*DT(N-4)*A**5*FAC(2)*JAPOL(N,4,5,A) -
ID, C7*B**N+=C7 1*A* . FAC(1)*JAPOL(N,1,1,A) -
    C7 1*DT(N-2)*A**3*FAC(3)*JAPOL(N,2,3,A) -
ID, C8*B**N+=C8 1*A* . FAC(1)*JAPOL(N,1,1,A) +
    C8 1*DT(N-1)*A* . FAC(1)*JAPOL(N,1,1,A) -
ID, C1=C1 1*FAC(3)*JAPOL(0,0,0,A)
ID, C5=C5 1*FAC(3)*JAPOL(0,0,0,A)

```

Tabela 2 - Integração em  $\lambda$ .

O comando ID perfaz este tipo de substituição e no exemplo acima a forma geral é

$$\begin{aligned}
& \text{ID, } C * B ** N += C1 * A ** NMIN * \text{FAC}(NMIN) * \text{JAPOL}(N, NMIN, NMIN, A) + \\
& \quad C1 * \text{DT}(N - NMIN - IDIF) * (-1)**IDIF * A ** NMAX * \text{FAC}(NMAX) + \\
& \quad \text{JAPOL}(N, NMIN + IDIF, NMAX, A) \tag{4}
\end{aligned}$$

onde

$$\text{JAPOL}(N, M, L, A) = P_{N-M}^{(L, 0)}(1 - 2A^2)$$

e  $P_{N-M}^{(L, 0)}(1 - 2A^2)$  são polinômios de Jacobi que provêm da integração dos cosenos multiplicados pela expansão do potencial em polinômios de Gegenbauer  $C_n^l$  (cf. eq. (3.2.3)). Também desta integração temos  $\text{FAC}(K) = 2, 2, -1\dots$  pois a soma

$$C_n^l(A \cos \lambda) - C_n^l(A \cos(\lambda - 2\pi/3)) - C_n^l(A \cos(\lambda + 2\pi/3))$$

aparece multiplicada por -1 ou 2 conforme  $v+v'$  e  $|v-v'|$  sejam ou não múltiplos de 3.

O segundo termo da soma do lado direito da eq. (4) só aparece quando  $N1$  ou  $N2$  não são nulos e isto é controlado no programa pe

la função DT(N-NMIN-IDIF) que é uma função teta, i.e., se anula para  $N < NMIN+IDIF$  e é igual a 1 para  $N \geq NMIN+IDIF$ . No caso em que  $NMIN=0$  aparecerá o termo  $B^{**0}$  que corresponderá à substituição

$$C=C1*FAC(3)*JAPOL(0,0,0,A) \quad (5)$$

pois FAC tem multiplicidade 3, i.e., quando  $NMIN=0$  teremos um múltiplo de 3 como argumento de FAC; mais explicitamente

$$FAC(t) = 2, 2, -1, 2, 2, -1, 2, 2, -1 \dots$$

$$FAC(1) = 2.$$

$$FAC(2) = 2$$

$$FAC(3) = -1.$$

⋮  
⋮

e  $t = v+v' = NMAX$  ou  $|v-v'| = NMIN$ .

O resultado das substituições feitas na Tabela 2 referente ao programa será para SUM.

```
SUM =
+ FACT(1,1)*JAPOL(1,1,1,A)
* (- 4.*A*C01)
+ FACT(2,1)*JAPOL(2,1,1,A)
* (.4.*A*C01)
+ FACT(3,1)*JAPOL(3,1,1,A)
* (- 4.*A*C01)
```

Tabela 3 - SUM equivale a  $V_{10,1;0,0}$

Neste momento devemos inserir os polinômios de Jacobi provenientes dos harmônicos-k para efetuarmos a integração na variável A.

```
ID, C01=CC**A**A***1*JAPOL(2,0,1,A)*JAPOL(0,0,0,A)*ROOT(6)*2  
ID, C11=CC**A**A***2*JAPOL(2,0,1,A)*JAPOL(0,0,1,A)*ROOT(6)*4  
ID, C21=CC**A**A***3*JAPOL(2,0,1,A)*JAPOL(0,0,2,A)*12  
ID, C31=CC**A**A***1*JAPOL(2,0,1,A)*JAPOL(1,0,0,A)*ROOT(2)*6  
ID, C41=CC**A**A***4*JAPOL(2,0,1,A)*JAPOL(0,0,3,A)*ROOT(3)*8  
ID, C51=CC**A**A***2*JAPOL(2,0,1,A)*JAPOL(1,0,1,A)*ROOT(3)*8  
ID, C61=CC**A**A***5*JAPOL(2,0,1,A)*JAPOL(0,0,4,A)*ROOT(15)*4  
ID, C71=CC**A**A***3*JAPOL(2,0,1,A)*JAPOL(1,0,2,A)*ROOT(15)*4  
ID, C81=CC**A**A***1*JAPOL(2,0,1,A)*JAPOL(2,0,0,A)*ROOT(30)*2
```

Tabela 4 - Colocam-se os Polinômios de Jacobi.

A forma geral da substituição é

$$C1=CC*A**NMAX*JAPOL(N1,0,M1,A)*JAPOL(N1,0,M2,A)*PMIN(1)*PMIN(2)$$

onde

$$PMIN(1) = \sqrt{k+2} \quad , \quad PMIN(2) = \sqrt{2} \sqrt{k'+2} \quad \text{se } v \neq v' \neq 0$$

$$PMIN(1) = \sqrt{k+2} \quad , \quad PMIN(2) = \sqrt{k'+2} \quad \text{se } v \text{ ou } v' = 0$$

estes valores estão contidos na definição dos harmônicos-k (cf. eq. (2.2.9)). Convém em termos do programa colocar diretamente o produto PMIN(1)\*PMIN(2) expresso pelos termos

$$ROOT(M)*N \quad , \quad ROOT(M) = \sqrt{M}$$

Teremos então para SUM por exemplo (Tab. 5).

Faz-se em seguida a colocação da forma explícita dos polinômios de Jacobi (Tab. 6).

```
SUM =  
+ FACT(1,1)*JAPOL(1,1,1,A)*JAPOL(2,0,1,A)*JAPOL(0,0,0,A)*ROOT(6)  
* (- 8.*A**3*CC )  
+ FACT(2,1)*JAPOL(2,1,1,A)*JAPOL(2,0,1,A)*JAPOL(0,0,0,A)*ROOT(6)  
* (- 8.*A**3*CC )  
+ FACT(3,1)*JAPOL(3,1,1,A)*JAPOL(2,0,1,A)*JAPOL(0,0,0,A)*ROOT(6)  
* (- 8.*A**3*CC )
```

Tabela 5 - Saída de SUM após a substituição da Tab. 4.

```
ID, JAPOL(N1+, N2+, K+, A) = (-1)**N1*A2**N1*(-1)**-N2*  
A2**-N2*DS(J, 0, N1-N2, (-1)**J*DB(N1-N2+K, J)*  
DB(N1-N2, N1-N2-J)*UMA2**J/A2**J))  
  
ID, UMA2=1-A2  
ID, A2=A**2
```

Tabela 6 - Polinômios de Jacobi.

onde DB(M,N) é o coeficiente do Binômio  $\binom{M}{N}$ .

A saída no programa para este passo é do tipo

```
SUM =  
+ FACT(1,1)*ROOT(6)  
* (- 24.*A**3*CC + 96.*A**5*CC - 80.*A**7*CC )  
+ FACT(2,1)*ROOT(6)  
* (- 48.*A**3*CC + 264.*A**5*CC + 448.*A**7*CC - 240.*A**9*CC )  
+ FACT(3,1)*ROOT(6)  
* (- 72.*A**3*CC + 576.*A**5*CC - 1632.*A**7*CC + 1920.*A**9*  
CC - 800.*A**11*CC )
```

Tabela 7 - Saída após colocação da forma explícita dos Polinômios de Jacobi.

Agora integramos as potências de A

$$\int_0^1 A^N dA = \frac{1}{N+1} \text{ DEN}(N+1)$$

e no programa o correspondente à integração é a substituição contida na Tabela 8.

TD, A\*\* N+=DEN(N+1)  
TD, CC=-3

- Tabela 8 - Substituição para a integração em A.

a constante  $CC=-3$  surge do fato de colocarmos  $-\frac{8}{3} \frac{1}{\pi p}$  em evidência na expansão da eq. (3.1.20). O resultado da integração em SUM que equivale ao elemento de matriz  $V_{10,1;00}$  pode ser visto na Tabela 9.

SUM =  
+ 72.\*FACT(1,1)\*ROOT(6)\*DEN(4)  
- 288.\*FACT(1,1)\*ROOT(6)\*DEN(6)  
+ 240.\*FACT(1,1)\*ROOT(6)\*DEN(8)  
- 144.\*FACT(2,1)\*ROOT(6)\*DEN(4)  
+ 792.\*FACT(2,1)\*ROOT(6)\*DEN(6)  
- 1344.\*FACT(2,1)\*ROOT(6)\*DEN(8)  
+ 720.\*FACT(2,1)\*ROOT(6)\*DEN(10)  
+ 216.\*FACT(3,1)\*ROOT(6)\*DEN(4)  
- 1728.\*FACT(3,1)\*ROOT(6)\*DEN(6)  
+ 4896.\*FACT(3,1)\*ROOT(6)\*DEN(8)  
- 5760.\*FACT(3,1)\*ROOT(6)\*DEN(10)  
+ 2400.\*FACT(3,1)\*ROOT(6)\*DEN(12)

Tabela 9 - Resultado da integração em A.

Substituindo os valores numéricos de FACT, ROOT e DEN podemos obter o resultado final de todos os quocientes e com uma manipulação simples porém trabalhosa das expressões como a considerada na Tabela 9, podem também ser encontrados os elementos  $A_{kv}^{k'v'} = -\frac{3\pi\rho}{8} V_{kv,k'v'}$  na forma de quocientes (11). Os resultados finais numéricos para os elementos  $A_{kv}^{k'v'}$  para este programa são encontrados após a substituição da Tabela 10 e estão contidos na Tabela 11.

```
ID, FACT(K+,N+) = (2*K - N + 1)/(4*K-2*N+1)/(4*K-2*N+3)
ID, DEN(N+) = 1/N
ID, ROOT(2) = 1.414213562
ID, ROOT(3) = 1.732050808
ID, ROOT(6) = 2.449089743
ID, ROOT(15) = 3.872983346
ID, ROOT(30) = 5.47725575
```

Tabela 10 - Substituição dos valores numéricos.

```
SUM = + 0.2055515868
SUM1 = - 8.7549749944E-2
SUM2 = + 0.1738888562
SUM3 = - 0.4475087964
SUM4 = + 1.1827416113E-2
SUM5 = + 0.133573837
SUM6 = + 4.8091555489E-2
SUM7 = - 0.5233255798
SUM8 = + 1.1292973485
```

Tabela 11 - Valores de  $A_{101}^{k'v'}$  para  $k' = 0, 2, 4, 6, 8$ .

Este procedimento de cálculo em que utilizamos o programa SCHOONSCHIP, com base nos resultados da Seção 3.2, tem a vantagem de permitir um controle apurado em todas as passagens, eliminando as desvantagens usuais dos cálculos em que há muitos somatórios e cancelações (o que em geral aumenta muito o erro de truncamento). Podemos, portanto, obter os valores dos elementos de matriz para ordens bastante altas de  $k$ .

Um outro modo de atacar o problema consiste em procurar relações fechadas para os elementos de matriz do potencial. Estas relações existem para o potencial de Coulomb e foram obtidas por H. Coelho et al. (12). Nós não testamos estas relações, porém elas provêm da mesma sistemática de cálculo que utilizamos e na prática também levariam a somatórios.

## CAPÍTULO 4

### SISTEMAS COULOMBIANOS DE TRÊS CORPOS

Os exemplos típicos para estados ligados coulombianos de três corpos são o átomo de Hélio e os íons similares, tais como:  $H^-$ ,  $Li^+$ ,  $Be^{++}$ ... . Experimentalmente, a produção destes íons, quando seus núcleos são mais pesados, torna-se limitada pela quantidade de energia investida no processo, além de fenômenos como captura eletrônica, que interviriam na sua formação. Alguns outros exemplos mais exóticos são sistemas como o íon negativo do positrônio  $e^-e^+e^-$ <sup>(33)</sup> e o seu reflexo  $e^+e^-e^+$ . O primeiro poderia se formar em metais de pequena densidade eletrônica, quando são injetados pósitrons termalizados<sup>(34)</sup>. Outro possível sistema é o hidrogênio mais um pósitron; neste não se consegue determinar um estado ligado, mas uma ressonância, no estudo do espalhamento pósitron-hidrogênico<sup>(35,36)</sup>. Finalmente, temos os sistemas em que além do próton hajam mésons envolvidos, em particular é bastante estudado o muônium<sup>(37)</sup>, equivalente do hidrogênio porém com um mûon no lugar do próton.

No estudo dos íons helioídes podemos, de uma maneira ingênuas, encontrar estimativas para o valor da energia do estado fundamental utilizando o princípio de incerteza<sup>(38)</sup>. Com este princípio temos para valores dos momenta dos elétrons

$$P_1 \sim \frac{1}{r_1} \quad \text{e} \quad P_2 \sim \frac{1}{r_2} \quad (1)$$

onde  $r_1$  e  $r_2$  são as dimensões da região de localização dos elétrons 1 e 2. Decorre que a energia cinética será

$$\frac{1}{2} \left( \frac{1}{r_1^2} + \frac{1}{r_2^2} \right) \quad (2)$$

A energia potencial vindas da interação dos elétrons com o núcleo de carga-Z é:

$$-Z \left( \frac{1}{r_1} + \frac{1}{r_2} \right) \quad (3)$$

e a energia da interação entre os elétrons é da ordem de

$$\frac{1}{r_1 + r_2} \quad (4)$$

A soma das quantidades definidas acima

$$E(r_1, r_2) = \frac{1}{2} \left( \frac{1}{r_1^2} + \frac{1}{r_2^2} \right) - Z \left( \frac{1}{r_1} + \frac{1}{r_2} \right) + \frac{1}{r_1 + r_2} \quad (5)$$

representa a energia total do sistema e o seu menor valor é aquele que buscamos para o nível fundamental. O mínimo ocorre em

$$r_1 = r_2 = \frac{1}{Z - \frac{1}{4}} \quad (6)$$

e substituindo na eq. (5) obtemos para os íons helioídes

$$E \sim \left( Z - \frac{1}{4} \right)^2 \text{ u.a.} \quad (7)$$

Os valores de E para alguns casos são dados na Tab. 1.

	$H^-$	He	$Li^+$
$E_{\text{princípio de inc.}}$	-0,56	-3,06	-7,56
$E_{\text{experimental}}$	-0,5277	-2,90	-7,28

Tabela 1 - Valores da energia do estado fundamental, usando o princípio de incerteza e experimental de  $H^-$ , He e  $Li^+$ .

Os métodos variacionais, que consistem essencialmente em minimizar a energia (15)

$$E(\phi) = \frac{\int \phi H \phi d\tau}{\int \phi^2 d\tau} \quad (8)$$

onde  $H$  é o hamiltoniano do problema,  $\phi$  uma função teste e a integração é feita em todo o espaço, podem fornecer valores muitíssimo acurados; entretanto, necessitam de um conhecimento prévio da função de onda e dependem muitas vezes do ajuste de um grande número de parâmetros, cuja significação física é difícil. Ainda no caso dos helióides uma função simples para o cálculo variacional é

$$\phi = e^{-(Z-\sigma)r_1} e^{-(Z-\sigma)r_2} \quad (9)$$

que representa o produto de duas funções de onda hidrogenóides, para o estado fundamental, e  $\sigma$  é um termo que dá conta do maskramento da carga do núcleo por um dos elétrons em relação ao outro. Com o hamiltoniano usual

$$H = -\frac{1}{2} (\nabla_1^2 + \nabla_2^2) - Z(\frac{1}{r_1} + \frac{1}{r_2}) + \frac{1}{|\vec{r}_2 - \vec{r}_1|} \quad (10)$$

obtém-se para  $\sigma = 5/16$  o valor mínimo da energia (eq. (8))

$$E = - (Z - \frac{5}{16})^2 \text{ u.a.} \quad (11)$$

cujos valores para os sistemas da Tab. 1 são vistos na Tab. 2.

	H <sup>-</sup>	He	Li <sup>+</sup>
E <sub>variacional</sub>	-0.473	-2.848	-7.223

Tabela 2 - Valores da energia do estado fundamental, utilizando o princípio variacional.

Note-se que o valor de H<sup>-</sup> não atinge a energia de ligação (a diferença do resultado da eq. (7)).

Pekeris<sup>(39)</sup> utilizando coordenadas u, v, w definidas por

$$\begin{aligned}\vec{u} &= \vec{r}_2 + \vec{r}_{12} - \vec{r}_1, \\ \vec{v} &= \vec{r}_1 + \vec{r}_{12} - \vec{r}_2, \\ \vec{w} &= 2(\vec{r}_1 + \vec{r}_2 + \vec{r}_{12})\end{aligned} \quad (12)$$

propôs uma função tentativa, para o método variacional dada por

$$\psi = \exp[-(u + v + w)] F(u, v, w) \quad (13)$$

com

$$F(u, v, w) = \sum_{\ell, m, n} A(\ell, m, n) L_\ell(u) L_m(v) L_n(w) \quad (14)$$

onde as funções  $L_j(z)$  são polinômios de Laguerre. O valor obtido para H<sup>-</sup> fazendo o cálculo com  $\ell+m+n$  até 16 e envolvendo 444 parâmetros  $A(\ell, m, n)$  é

$$E_{H^-} = - 0,527751006 \text{ u.a.} \quad (15)$$

e para o Hélio

$$E_{He} = - 2,90372 \text{ u.a.} \quad (16)$$

Utilizando o mesmo formalismo Frost et al. (40) chegaram com 50 termos em  $F(u,v,w)$  ao seguinte valor para a energia de ligação de  $e^-e^+e^-$

$$E_{e^-e^+e^-} = - 2.62 \text{ u.a.} \quad (17)$$

Mais recentemente foram realizados cálculos com os métodos de configuração-interação (41) e equações de Fadeev (42), sendo que este último fornece valores para  $e^-e^+e^-$ . Os resultados destes dois últimos grupos estão summarizados na Tab. 3.

	$e^-e^+e^-$	$H^-$	$He$
C-I	---	—	-2,85649
Fadeev	-0,25142	-0,52798	-2,8837

Tabela 3 - Valores da energia do estado fundamental, utilizando os métodos de configuração (C-I) e as equações de Fadeev.

Ainda um outro problema de interesse, devido às aplicações em física nuclear, é saber o número de estados ligados dos íons, em particular do  $H^-$  (43,44) (muito usado recentemente como projétil em aceleradores de partículas).

## CAPÍTULO 5

### RESULTADOS E DISCUSSÕES

#### 5.1 - Autovalores e Autovetores

Obtivemos no segundo Capítulo um sistema de equações diferenciais acopladas via uma expansão da função de onda total do problema de três corpos  $\Psi(\rho; \Omega)$  em harmônicos-k (cf. equação (2.1.29)). Com o intuito de resolver o sistema, realizamos uma segunda expansão, desta vez das ondas parciais  $x_{kv}(\rho)$  (cf. eq. (2.3.14)) em um conjunto completo de funções, conseguindo deste modo obter uma equação matricial de autovalores (cf. eq. (2.3.15)); nós empregamos as funções do oscilador harmônico generalizado  $\phi_{nk}(\alpha\rho)$  (cf. eq. (2.3.19))

$$\Psi(\rho; \Omega) = \sum_{kv} x_{kv}(\rho) u_{kv}(\Omega) \quad (1)$$

$$x_{kv}(\rho) = \sum_n q_{nkv} \phi_{nk}(\alpha\rho) \quad (2)$$

$$\phi_{nk}(\alpha\rho) = \left[ \frac{2n!}{r(k+n+3)} \right]^{1/2} \rho^{2k} e^{-\frac{1}{2}\alpha\rho^2} {}_1F_1(-n, k+3, \alpha\rho^2) \quad (3)$$

Conforme explicamos no Capítulo 2 estas expansões devem ser interrompidas para algum valor de  $k$  e  $n$  se queremos contrair os autovalores da eq. (2.3.15). Em geral, após fixarmos  $k$  e  $n$ , podemos procurar o parâmetro  $\alpha$  que fornecerá o menor

autovalor; este procedimento equivale a um cálculo variacional. Entretanto, para um grande número de funções as quantidades calculadas não serão sensíveis à mudança do parâmetro  $\alpha$ , em especial na vizinhança de um mínimo (19,25). Tendo em vista esta particularidade do uso da expansão de  $x_{kv}$ , ao invés de para cada  $k$  e  $n$  fixados procurarmos o parâmetro  $\alpha$  que otimiza o resultado, utilizaremos um único  $\alpha$  que nos forneça um comportamento regular, i.e., que os valores calculados com este  $\alpha$ , para os diversos  $k$  e  $n$ , estejam próximos dos ou sejam os melhores.

Com base nesta sistemática para encontrarmos o valor da energia do nível fundamental de um certo sistema devemos procurar o menor autovalor obtido com  $\alpha$ ,  $k$  e  $n$  fixados. Procedemos deste modo no estudo do átomo de He (com massa nuclear infinita) do íon  $H^-$  (com massa do próton  $M_p$  infinita e com seu valor real) e o íon  $e^-e^+e^-$ ; calculando autovalores e autovetores com diversos valores de  $\alpha$ ,  $k$  e  $n$ .

No caso específico em que  $k = 0$ , ao invés de um sistema de equações (cf. eq. (2.1.30)), teremos uma única equação, com solução exata

$$\left[ -\frac{1}{\rho^5} \frac{d}{d\rho} \left( \rho^5 \frac{d}{d\rho} \right) + \frac{2E}{\hbar^2} - \frac{2}{\hbar} V_{00,00} \right] x_{00}(\rho) = 0 \quad (4)$$

cuja solução é do tipo  $x_{00}(\rho) = N_0 e^{-k_0 \rho}$  e o valor para a energia é dado por

$$E = - \left[ \frac{8\sqrt{2}}{3\pi} \frac{A_{00,00}}{5} \right]^2 \text{ u.a.} \quad (5)$$

$$V_{00,00} = - \frac{1}{\rho} \frac{8}{3\pi} A_{00,00} \quad (6)$$

Nas Tabs. 1, 2, 3 e 4 estão contidos os valores da energia que obtivemos para os diferentes  $n$ ,  $k$  e  $\alpha$ .

$k$	$n=9 \quad \alpha=0,5$	$n=14 \quad \alpha=0,5$
0	-0.115281	-0.115281
2	-0.203794	-0.202314
4	-0.220021	-0.214318
6	-0.234499	-0.235417
8	-0.240796	-0.241886
10	-0.244796	-0.245849
12	-0.248105	

Tabela 1 - Autovalores da energia do íon  $e^-e^+e^-$  em u.a.

$k$	$n=9 \quad \alpha=0,7$	$n=14 \quad \alpha=0,7$
0	-0.385068	-0.385068
2	-0.411513	-0.410829
4	-0.472267	-0.455140
6	-0.472607	-0.474052
8	-0.491866	-0.493991
10	-0.491933	-0.494065

Tabela 2 - Autovalores da energia do íon  $H^-$  (com massa do próton real) em u.a.

k	N=9 $\alpha=0,7$	N=14 $\alpha=0,7$
0	-0.385401	-0.385401
2	-0.411767	-0.411083
4	-0.478576	-0.457676
6	-0.478983	-0.480452
8	-0.498683	-0.500818
10	-0.506111	-0.510129

Tabela 3 - Autovalores da energia do íon H<sup>+</sup> (com massa do próton  $\rightarrow \infty$ ) em u.a.

k	n=9 $\alpha=1,8$	n=14 $\alpha=1,8$
0	-2.500017	-2.500017
2	-2.525135	-2.523696
4	-2.773994	-2.700426
6	-2.774572	-2.782179
8	-2.832803	-2.844403
10	-2.836355	-2.846499

Tabela 4 - Autovalores da energia do átomo de He (com massa do núcleo  $\rightarrow \infty$ ) em u.a.

Os autovetores correspondentes a estes valores da energia nos dão os coeficientes da expansão (eq. (2.3.14))

$$x_{kv} = \sum a_{nkv} \phi_{nk} \quad (7)$$

Com estes coeficientes podemos construir as diversas ondas parciais  $x_{kv}$  e ainda calcular a contribuição de cada uma destas à norma da função de onda com base em

$$\sum a_{nkv}^2 \quad (8)$$

Na Tabela 5 damos a contribuição de cada onda parcial em termos de porcentagem para os íons  $e^- e^+ e^-$ ,  $H^-$  e para o átomo de He. Para o caso do átomo de He mostramos a forma da onda parcial  $x_{00}$ , o que vale como um exemplo. Este gráfico está contido na Fig. 1.

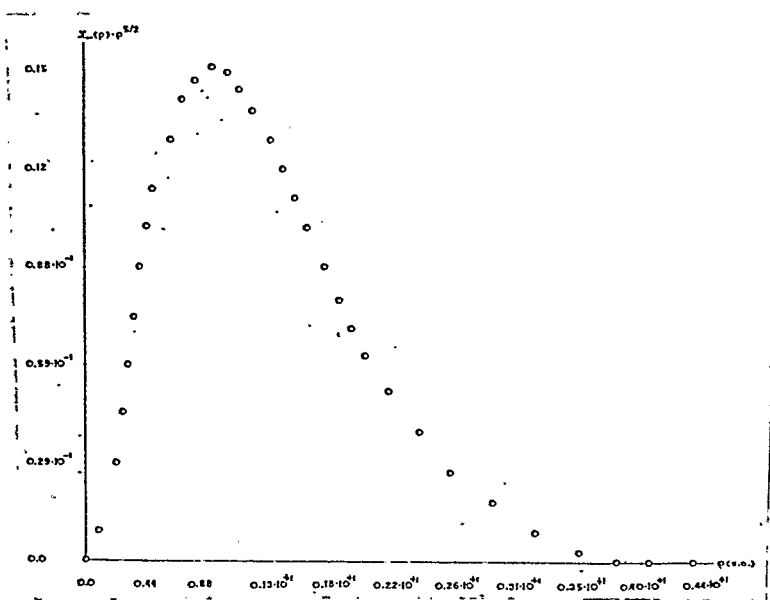


Figura 1 - Gráfico da onda parcial  $x_{00}$  do átomo de He calculada com  $k=10$  e multiplicada por  $r^{5/2}$ .

Devemos notar que na procura dos autovalores do sistema de equações (2.3.13) não fizemos um estudo rigoroso da precisão dos valores obtidos. Utilizamos apenas como argumento de plausibilidade o fato de que estes cálculos foram repetidos com diversas rotinas de diagonalização (como as do EISPACK<sup>(45)</sup>, do IMSL<sup>(46)</sup> e outras fornecidas pelo Laboratório de Cálculo do

$k$	$v$	$\alpha = 0,5$ $e^- e^+ e^-$	$\alpha = 0,7$ $H^-$	$\alpha = 1,8$ $He$
0	0	70,16	83,66	94,43
2	1	19,83	1,43	0,42
4	2	1,03	7,77	3,39
4	0	4,64	3,00	1,30
6	3	2,24	0,01	$\sim 10^{-4}$
6	1	0,77	0,01	$\sim 10^{-3}$
8	4	0,27	2,35	0,18
8	2	0,16	0,57	0,18
8	0	0,36	0,28	0,08
10	5	0,05	$\sim 10^{-3}$	$\sim 10^{-3}$
10	3	0,25	$\sim 10^{-3}$	$\sim 10^{-4}$
10	1	0,04	0,91	$\sim 10^{-3}$
12	6	0,09	—	—
12	4	0,03	—	—
12	2	0,02	—	—
12	0	0,05	—	—

Tabela 5 - Contribuição percentual das ondas parciais  $x_{kv}$  à norma da função de onda.

CBPF). Como estas rotinas têm procedimentos diferentes e em geral os valores coincidiam até a sexta casa decimal, acreditamos que os resultados apresentados estejam bastante próximos da realidade. Entretanto, no caso do  $H^-$  os dois conjuntos de valores (Tabs. 2 e 3) deveriam diferir apenas de um fator da ordem de  $6 \times 10^{-4}$ , sendo mais altos (menos ligados) os valores com massa real. Podemos ver claramente que isto não ocorre. Acreditamos que este fato aconteça por alguma particularidade do método ou mesmo que alguns dos elementos de matriz  $V_{kv,k'v'}$  do  $H^-$  com massas reais não estejam corretos dentro da aproximação  $6 \times 10^{-4}$ .

### 5.2 - Convergência em Função de k

Um dos problemas de interesse no formalismo dos harmônicos-k consiste em saber de que maneira o acréscimo de funções na expansão da função de onda (eq. (2.1.29))

$$\Psi(\rho; \Omega) = \sum_{kv} x_{kv}(\rho) u_{kv}(\Omega) \quad (1)$$

influi nos valores das quantidades que se deseja investigar. Tendo em vista o estado ligado de três nucleons, Schneider<sup>(47)</sup> estudou o comportamento da expansão de  $\Psi(\rho; \Omega)$ , utilizando métodos de análise funcional. Para o potencial de Yukawa ele sugere que a convergência seja proporcional a  $k^{-4}$ ; já no caso de um potencial Gaussiano ele espera que a convergência seja mais rápida do que potências inversas de k, i.e., seja exponencial. Mais recentemente Demin<sup>(48)</sup> ampliou o estudo de Schneider para potenciais que incluem interações do tipo tensor. De qualquer forma a convergência se apresenta, em geral, na forma de uma potência inversa de k ou mais rápida.

Utilizando os resultados do trabalho de Schneider, Bruinsma e Van Wageningen<sup>(49)</sup> propuseram, no caso da energia de ligação do Triton com um potencial de Reid<sup>(50)</sup>, a seguinte fórmula de extrapolação

$$E(\infty) = E(k_{\max}) - \text{const.}(k_{\max})^{-Y} \quad (2)$$

onde  $k_{\max}$  é o maior k para o qual se interrompe a expansão da eq. (1) e  $E(k_{\max})$  é a energia calculada com este valor de k. Estudando os valores obtidos para diversos valores de  $E(k_{\max})$  eles che-

gam a um valor igual a 3 para  $\gamma$ .

Baseados nestes resultados resolvemos agir de forma se melhante para o potencial de Coulomb. Para tal, estudamos os valores da energia com diferentes  $k_{\max}$  e os colocamos em função das potências inversas de  $k$ . A nossa proposta é, então, utilizar a equação de uma reta

$$aE(k) + b(k)^{-\gamma} + c = 0 \quad (3)$$

e com o método usual de mínimos quadrados ajustar os valores dos parâmetros  $a$ ,  $b$  e  $c$  para as diversas potências de  $k$ . A extrapolação é feita para  $k \rightarrow \infty$  neste caso  $k^{-\gamma} \rightarrow 0$ , portanto

$$E(\infty) = - \frac{c}{a} \quad (4)$$

Uma outra maneira de estudarmos a convergência é a utilização dos aproximantes de Padé pontuais (14). Com eles podemos construir tabelas em que cada linha, coluna e diagonal é uma sequência transformada da sequência original e que em princípio deve atingir mais rapidamente o limite correto. O uso dos aproximantes de Padé está explicado no Apêndice A. Nas Tabs. 6, 7, 8 e 9 temos as diversas sequências obtidas para os sistemas estudados. Nestas tabelas a primeira linha traz a sequência original dos valores da energia calculados com o  $k$  indicado; as outras linhas, colunas e diagonais, são as sequências geradas pelo método.

Das tabelas de Padé, podemos perceber que há uma série de discrepâncias como o valor -0,238199 para o aproximante  $[2,2]$  do íon  $e^-e^+e^-$  (Tab. 6) ou os valores -0,672828 e -0,919084 dos aproximantes  $[1,2]$  e  $[2,1]$  do íon  $H^-$  ( $M_p \rightarrow \infty$ ) (Tab. 8), tam-

M \ N	0	1	2	3	4
0	-0,220021	-0,234499	-0,240796	-0,244595	-0,248105
1	-0,235519	-0,245641	-0,250373	-0,290715	-
2	-0,241806	-0,250585	-0,238199	-	-
3	-0,245525	-0,381281	-	-	-
4	-0,245363	-	-	-	-

Tabela 6 - Tabela de aproximações de Padé para o íon  $e^-e^+e^-$ ,  $N=(k-4)/2$ ,  $n=9$ .

M \ N	0	1	2	3	4
0	-2,529696	-2,700426	-2,782179	-2,844403	-2,846499
1	-2,712783	-2,857296	-3,042657	-2,846572	-
2	-2,796026	-3,063490	-2,892408	-	-
3	-2,860985	-2,852259	-	-	-
4	-2,850941	-	-	-	-

Tabela 7 - Tabela de aproximações de Padé para o He,  $N=(k-2)/2$ ,  $n=14$ .

M \ N	0	1	2	3	4
0	-0,411083	-0,457676	-0,480452	-0,500818	-0,510129
1	-0,463632	-0,502233	-0,672828	-0,517971	-
2	-0,487008	-0,919085	-0,532404	-	-
3	-0,508955	-0,519337	-	-	-
4	-0,515692	-	-	-	-

Tabela 8 - Tabela de aproximações de Padé para o íon  $H^-$  ( $M_p \rightarrow \infty$ ),  $N=(k-2)/2$ ,  $n=14$ .

bém o resultado  $-0,106928$  para o aproximação  $[1,2]$  do  $H^-$  ( $M_p$  real) (Tab. 9). Este comportamento se deve, em parte, ao fato de que o método dos aproximações de Padé não leva em conta que a

M \ N	0	1	2	3	4
0	-0,410829	-0,455140	-0,474052	-0,493991	-0,494065
1	-0,460497	-0,488134	-0,106928	-0,494065	-
2	-0,478966	-0,370465	-0,509757	-	-
3	-0,502308	-0,413022	-	-	-
4	-0,495678	-	-	-	-

Tabela 9 - Tabela de aproximações de Padé para o Fôns  $H^-$  ( $M_p$  real)  $N = (k-2)/2$ ,  $n = 14$ .

energia está sempre decrescendo para cada harmônico- $k$  adicionado (cf. Tabs. 5.1.1, 2, 3, 4), embora seja preciso reconhecer que há harmonia com o comportamento já conhecido dos aproximações , nos quais as diagonais vizinhas da principal ( $[N,N]$ ) fornecem cotas superiores aos valores da diagonal principal. Entretanto estas discrepâncias também indicam que estamos distantes da convergência no caso dos fôns  $e^-e^+e^-$  e  $H^-$  ( $M_p$  real), pois quanto mais regular fosse o comportamento da sucessão de valores da energia mais regulares deveriam ser as sequências geradas pelos aproximações de Padé. Como exercício especulativo, calculamos os aproximações pontuais dos aproximações diagonais. Os resultados são fornecidos na Tabela 10.

Destes resultados emergem duas características:

19. Do ponto de vista dos aproximações de Padé, é significativo verificar que estes apresentam características de aumento da velocidade de convergência, ou seja, com os mesmos valores da sequência  $[0,M]$  podemos construir sequências de melhor convergência (por exemplo, as diagonais ou a  $[N,0]$ ).
20. Do ponto de vista do método de solução da equação de Schrö -

$e^- e^+ e^-$			
	-0,220021 -0,249018 -0,236343	-0,245641 -0,239874 —	-0,238199 — —
He			
	-2,529696 -2,906032 -2,896413	-2,857296 -2,896623 —	-2,892402 — —
$H^- (M_p \rightarrow \infty)$			
	-0,411083 -0,528203 -0,545174	-0,502233 -0,547330 —	-0,532404 — —
$H^- (M_p \text{ real})$			
	-0,410829 -0,506052 -0,517022	-0,488134 -0,518153 —	-0,509757 — —

Tabela 10 - Aproximantes de Padé sobre os aproximantes diagonais das Tabelas 6,7,8,9.

dinger, os números desejados estão à vista, faltando apenas critérios para limitar os valores obtidos.

Dentro da ótica do método dos harmônicos-k, embora seja atraente o uso dos aproximantes de Padé, é mais plausível a utilização dos trabalhos de Schneider (47) e Demin (48) e da fórmula linear que decorre (cf. eq. (3)). Para utilizarmos esta fórmula estudamos o comportamento das diversas potências inversas de k tendo como base os valores da energia do íon  $e^- e^+ e^-$  (calculados com  $n = 9$ ) e verificamos que para  $k \geq 4$  há um ajuste bastante significativo da reta (eq. (3)) quando  $\gamma = 1$ . Considerando os diversos  $k^{-1}$  como sendo os pontos do eixo y e os valores

da energia como sendo do eixo x, podemos calcular um coeficiente de determinação  $r^2$  (51)

$$r^2 = \frac{\left[ \sum xy - \frac{\sum x \sum y}{N} \right]}{\left[ \sum x^2 - \frac{(\sum x)^2}{N} \right] \left[ \sum y^2 - \frac{(\sum y)^2}{N} \right]} \quad (5)$$

onde N é o número de pontos  $(x, y)$ .

Quanto mais próximo  $r^2$  estiver de 1 melhor o ajuste da reta que passa pelos pontos  $(x, y)$ . O valor obtido para  $r^2$  no caso do íon  $e^- e^+ e^-$  ( $n = 9$ ,  $4 \leq k \leq 12$ ) foi

$$r^2 = 0,9988 \quad (6)$$

e o valor obtido para  $E(\infty)$  (eq. (4)) foi

$$E(\infty)_{e^- e^+ e^-} = -0,2617 \text{ a.u.} \quad (7)$$

Na Fig. 2 podemos ver o gráfico destes pontos. Na Tabela 11 mostramos os valores calculados com a eq. (3) e  $\gamma = 1$  de  $E(\infty)$  (eq. (4)) para os íons  $e^- e^+ e^-$  e  $H^-$  e para o átomo de He (calculados com  $n = 14$  e  $4 \leq k \leq 10$ ).

$e^- e^+ e^-$	-0,2689
$H^- (M_p \text{ real})$	-0,5257
$H^- (M_p \rightarrow \infty)$	-0,5446
He	-2,9631

Tabela 11 - Valores de  $E(\infty)$  para os íons  $e^- e^+ e^-$ ,  $H^-$  e átomo de He ( $M_p$  = massa do próton), em unidades atômicas.

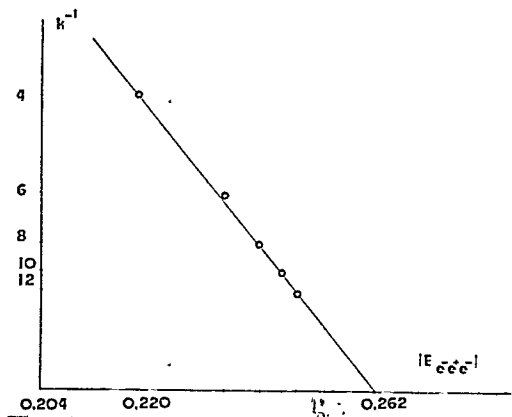


Figura 2 - Reta utilizada para a extrapolação dos valores da energia de  $e^-e^+e^-$ .

Como podemos verificar (cf. Tab. II) os valores da energia, do nível fundamental dos sistemas estudados, obtidos com o uso da extrapolação linear (em  $k^{-1}$ ) concordam bastante bem com os valores usualmente aceitos tanto teórica ( $e^-e^+e^-$ ) quanto experimentalmente ( $H^-$ , He). Este é um resultado muito alentador já que esta extrapolação deveria apenas indicar o valor para o qual converge a energia.

Dos sistemas estudados o que apresenta maior regularidade considerando a equação linear (eq. (3)) e as Tabelas de Padé é o He. Vejamos outras particularidades. O valor exato que é obtido com o harmônico  $k = 0$  representa para o He 86% da energia fundamental enquanto que para o íon  $H^-$  ( $M_p \rightarrow \infty$ ) este valor é 73% e para o íon  $e^-e^+e^-$  apenas 44%. Estes valores parecem determinar fortemente a possibilidade de se obter um bom valor da energia do nível fundamental dos sistemas quando acrescentarmos mais valo

res de  $k$  na expansão da função de onda (cf. eq. (1)). Outro aspecto a ser considerado são as diferenças físicas destes sistemas, o átomo de He é estável, tem carga elétrica total nula e além disso existe em diversos níveis de energia<sup>(15)</sup>, enquanto que o íon  $H^-$  só é estável frente à dissociação em um átomo de Hidrogênio e um elétron livre não possuindo outros níveis discretos de energia, ou seja, só possui um estado ligado. O íon  $e^-e^+e^-$  traz uma certa semelhança com o  $H^-$  porém o "átomo pai", i.e., o positrônio, se aniquila com relativa rapidez e o próprio íon  $e^-e^+e^-$  deve se aniquilar. Estas particularidades devem favorecer o He no que concerne à aplicação do método dos Harmônicos-K e obtenção da convergência. Zickendraht<sup>(5)</sup> com seu formalismo calcula um valor da energia do nível fundamental do átomo de He idêntico ao nosso para  $k = 0$ , com uma função que se assemelha à nossa expansão (eq.(2.1.29)) até  $k = 4$  ele dá um valor para esta energia de -2,783 u.à., quantidade que está em concordância com as que obtivemos (cf. Tab. 5.2.4). O íon  $H^-$  comporta-se de uma maneira bastante semelhante a do átomo de He, principalmente na aproximação em que consideramos a massa do próton infinita. Realmente, a única diferença formal é o fato da carga do núcleo do átomo de He ser  $Z_{He} = +2$  e no caso do íon  $H^-$   $Z_{H^-} = +1$ , isto não modifica de maneira brusca o cálculo dos elementos de matriz, como pode ser visto na eq. (3.2.7). A utilização para o íon  $H^-$  de massas reais, aparentemente introduz uma perturbação no cálculo dos elementos de matriz do potencial influindo na convergência dos valores, sendo que para  $k = 10$  ainda não obtivemos um estado ligado; Quanto ao íon  $e^-e^+e^-$  realizamos cálculos com valores de  $k$  até 12 e não obtivemos nem o valor do nível fundamental do positrônio. O fato de que o cálculo com  $k = 0$  fornece um valor tão

baixo como  $-0,115281$  u.a. (12) para a energia, já indica que a convergência será precária. Este comportamento está totalmente em contradição com um trabalho de Choudhury et al. (11) que obtém para  $k = 2$  o valor  $\sim -0,256$  u.a. e para  $k = 4 \sim -0,259$  a.u.. H.Coelho et al. numa publicação recente (12) obtêm um valor para o íon  $e^-e^+e^-$  com  $k = 0$  idêntico ao nosso, e também concluem que é muito difícil que Choudhury tenha atingido convergência adicionando apenas mais uma onda parcial, fato que não ocorre nem mesmo para potenciais do tipo Gaussiano (29) no cálculo com partículas idênticas (bôsons).

De uma maneira mais geral devem influir na convergência, a simetria dos sistemas e o tipo de singularidade do potencial utilizado. Estudando sistemas de três corpos a uma dimensão Coelho e Amado (13) concluem que a assimetria introduzida por partículas não idênticas (massas diferentes, cargas diferentes etc) influí negativamente na convergência. Ou seja, não é exatamente uma surpresa o fato de não atingirmos rapidamente os valores que gostaríamos de obter. Quanto ao potencial, em cálculos realizados da energia de ligação do triton (29,30) (neste caso as partículas são idênticas) percebe-se que quando utilizam-se potenciais mais singulares, como o de Yukawa, a convergência torna-se bem mais lenta. Mesmo com todas estas dificuldades, vemos que os valores obtidos (cf. Tabs. 1 a 10) são bastante bons e uma vez vencidas as barreiras computacionais espera-se uma melhora substancial nos resultados.

## CAPÍTULO 6

### CONCLUSÃO

Neste trabalho explicitamos o método dos Harmônicos Hiperesféricos na solução de problemas com N corpos de massas diferentes. Demos alguns exemplos, como N corpos interagindo por um potencial do tipo oscilador harmônico e o do potencial "pseudo Coulombiano"  $a^2/p$ . Em particular, nosso objetivo foi utilizar este método na solução de sistemas Coulombianos de três corpos, procurando o nível fundamental da energia. Com este intuito um primeiro passo foi calcular os elementos de matriz do potencial de Coulomb. Este cálculo foi realizado com auxílio do programa Schoonschip, conforme vimos no Capítulo 3. Obtivemos nesta aplicação uma eficácia muito acentuada, o que nos permite calcular estes elementos de matriz para valores de k bastante altos. Acreditamos que este procedimento deve ser utilizado de maneira mais ampla, ou seja, o cálculo com auxílio de um programa de computação algébrica provou ser um poderoso instrumento e deve servir no cálculo dos elementos de matriz para outros tipos de potenciais.

De posse destes elementos de matriz, resta o trabalho de montarmos a equação matricial de autovalores. Neste ponto surge uma das limitações do método, pois aparecem matrizes de ordem muito alta, havendo dificuldades na procura de seus autovalores. Estas dificuldades só podem ser superadas com a utilização de

algoritmos otimizados e com auxílio de computadores que tenham grande capacidade de memória.

Nas nossas aplicações ao átomo de He e aos íons  $e^-e^+$  e  $H^-$ , obtivemos resultados que são plenamente coerentes frente às aplicações anteriores do método, com exceção do já citado (cf. Cap.5) trabalho de Chowdhury et al. (11). Procuramos melhorar nossos resultados utilizando métodos de aceleração de convergência, como os aproximantes de Padé e a extrapolação linear do Capítulo 5. Em particular, com a fórmula linear que propusemos encontramos valores surpreendentemente bons, indicando que com o acréscimo de mais alguns harmônicos na expansão da função de onda podemos atingir valores ainda mais acurados. Esta é uma faceta do método que deve ser explorada, pois um conhecimento preciso da lei de convergência dos valores em função de  $k$  (i.e., do acréscimo de harmônicos na expansão) possibilita que com um número relativamente reduzido de harmônicos possamos obter valores bastante próximos dos reais. Em aplicações futuras esperamos desenvolver de uma maneira mais rigorosa este ponto, bem como investigar sistemas semelhantes aos que estudamos (como o  $H_2^+$ ) e processos atômicos de colisão. De fato, apesar das dificuldades citadas, verificamos que é factível esperar bons resultados do uso dos harmônicos- $k$  na solução de problemas atômicos e moleculares simples. Frente aos métodos variacionais os harmônicos- $k$  apresentam a vantagem de ser um procedimento recorrente no qual as diferentes ordens de aproximação estão sob controle. Porém, existem dificuldades de fato no cálculo numérico que limitam a sua aplicabilidade e requerem, como vimos, a utilização de instrumentos adicionais de otimização dos resultados.

## APÊNDICE A

### MÉTODOS DE EXTRAPOLAÇÃO

#### A.1 - Aproximantes de Padé Pontuais

O aproximante de Padé  $[N,M]_S(z)$  para uma série de potências formal (no sentido de que a série não precisa convergir)

$$S(z) = \sum_{n=0}^{\infty} a_n z^n \quad (A.1)$$

é definido (14) pela função racional

$$[N,M]_S(z) = \frac{R_M(z)}{Q_N(z)} \quad , \quad Q_N(0) = 1 \quad (A.2)$$

onde  $R_M(z)$  e  $Q_N(z)$  são polinômios em  $z$  de ordens  $M$  e  $N$ , respectivamente, os coeficientes destes polinômios ficam determinados de maneira única, pela equação

$$S(z)Q_N(z) - R_N(z) = 0 [z^{M+N+1}] \quad (A.3)$$

No caso em que  $z = 1$  teremos

$$S(1) = \sum_{n=0}^{\infty} a_n \quad (A.4)$$

com somas parciais

$$S_r = \sum_{n=0}^r a_n \quad (A.5)$$

O aproximante de Padé pontual  $[n, n+r]_{S(1)}$  da expansão (A.4) fica determinado pelas equações (A.2) e (A.3) quando  $z = 1$ , desta maneira temos um procedimento para aproximar o limite de uma seqüência  $S_r$  (14). Em geral os valores  $[n, n+r]_{S(2)}$  são arrumados na forma de uma matriz infinita.

$$\begin{matrix} [0,0] & [0,1] & [0,2] & [0,3] & \dots \\ [1,0] & [1,1] & [1,2] & [1,3] & \dots \\ [2,0] & [2,1] & [2,2] & [2,3] & \dots \\ \vdots & \vdots & \vdots & \vdots & \end{matrix} \quad (A.6)$$

Os valores da primeira linha são os  $[0,m] = S_m$ , valores da seqüência, e de modo geral espera-se que para cada  $n$  fixo tenhamos uma seqüência que converja rapidamente para o limite de  $S_r$ . Alguns teoremas concernentes à convergência podem ser encontrados nas refs. (14), (52), (53).

#### A.2 - Método de Extrapolação de Aitkén

Quando temos uma seqüência  $S_r$  podemos procurar seu limite usando o método de Aitkén (54), que consiste em escolher três valores da seqüência, digamos  $S_r, S_{r+1}, S_{r+2}$ , calculando então as diferenças

$$\begin{aligned} \Delta S_{r+1} &= S_{r+1} - S_r \\ \Delta S_{r+2} &= S_{r+2} - S_{r+1} \end{aligned} \quad (A.6)$$

Podemos então construir um plano Cartesiano com um eixo formado

pelas diferenças, e outro pelos valores da seqüência. A reta que passa pelos pontos  $(s_r, \Delta s_{r+1})$  e  $(s_{r+1}, \Delta s_{r+2})$  nos dará o valor do limite quando extrapolada para  $\Delta s = 0$  (cf. Fig. A.1)

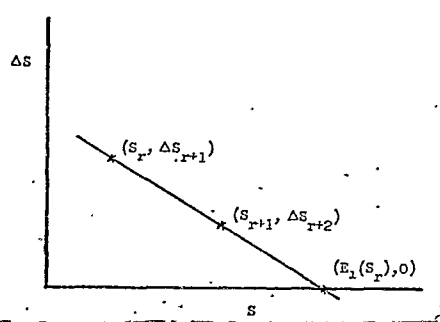


Figura A.1 - Reta de extrapolação do Método de Aitkēn.

O valor  $E_1(s_r)$  é fácil de ser calculado e seu valor é

$$E_1(s_r) = \frac{s_{r+1}^2 - s_r s_{r+2}}{2s_{r+1} - s_r - s_{r+2}} \quad (A.7)$$

Este método aplicado à seqüência (A.5) nos dá precisamente o approximante de Padé pontual  $[1,1+r]$ . Podemos generalizar esta sistemática construindo para  $2n+1$  termos da seqüência  $s_r, s_{r+1}, \dots, s_{r+2r}$  os  $n+1$  vetores de dimensão  $n+1$

$$\vec{v}^{(k)} = \begin{bmatrix} s_{r+k} \\ \Delta s_{r+k+1} \\ \Delta s_{r+k+2} \\ \vdots \\ \Delta s_{r+k+n} \end{bmatrix}; \quad k = 0, 1, 2, \dots, n \quad (A.8)$$

o ponto

$$\vec{P} = \begin{pmatrix} E_n(S_r) \\ 0 \\ \vdots \\ 0 \end{pmatrix} \quad (A.9)$$

onde o hiperplano comum aos  $n+1$  vetores intercepta o eixo dos  $S$  nos dâ o aproximante  $[n, n+r]_{S(1)}$

$$E_n(S_r) = [n, n+r]_{S(1)} \quad (A.10)$$

O valor de  $E_n(S_r)$  será dado, seguindo esta construção geométrica, pelo quociente de determinantes

$$E_n(S_r) = \frac{\begin{vmatrix} \Delta S_{r+1} & \Delta S_{r+2} & \dots & \Delta S_{r+n} & S_r \\ \Delta S_{r+2} & \Delta S_{r+3} & \dots & \Delta S_{r+n+1} & S_{r+1} \\ \vdots & \vdots & & \vdots & \vdots \\ \Delta S_{r+n+1} & & & \Delta S_{r+2n} & S_{r+n} \end{vmatrix}}{\begin{vmatrix} \Delta S_{r+1} & \dots & \Delta S_{r+n} & 1 \\ \Delta S_{r+2} & \dots & \Delta S_{r+n+1} & 1 \\ \vdots & & \vdots & \vdots \\ \Delta S_{r+n+1} & \dots & \Delta S_{r+2n} & 1 \end{vmatrix}} \quad (A.11)$$

Outras construções nos dão fórmulas equivalentes (14)

$$E_n(S_r) = \frac{H_{n+1}^{(r)} \{S_m\}}{H_n^{(r)} \{\Delta^2 S_m\}} \quad (A.12)$$

$$E_n(S_r) = \frac{H_{n+1}^0 \{\Delta^m S_r\}}{H_n^{(2)} \{\Delta^m S_r\}} \quad (A.13)$$

onde para  $m \geq 1$ ,  $\Delta^m s_r = \Delta^{m-1} s_{r+2} - \Delta^{m-1} s_r$ ,  $\Delta^0 s_r = s_r$  e os

$$H_k^{(r)}\{s_m\} = \begin{vmatrix} s_r & s_{r+1} & \dots & s_{r+k-1} \\ s_{r+1} & s_{r+2} & \dots & s_{r+k} \\ \vdots & \vdots & & \vdots \\ s_{r+k-1} & s_{r+k} & \dots & s_{r+2k-2} \end{vmatrix} \quad (A.14)$$

são os determinantes de Hankel (14).

## APÊNDICE B

### TABELAS DE ELEMENTOS DE MATRIZ

Nas tabelas que se seguem estão contidos os elementos de matriz do potencial  $V_{kv, k'v'}$ , do íon  $e^-e^+e^-$ , do íon  $H^-$  e do átomo de He com:

$$V_{kv, k'v'} = \frac{1}{\rho} C_{n,m} \quad (B.1)$$

onde  $n, m = 1, 2, 3, \dots, 10, 12$  equivalem ao conjunto de índices  $(k, v)$  considerando,  $(0,0) = 1$ ,  $(2,1) = 2$ ,  $(4,2) = 3 \dots$ . Além disso temos também que:

$$Zy = -\frac{8}{3} \frac{1}{\pi}$$

$$Z2 = \sqrt{2}$$

$$Z3 = \sqrt{3}$$

$$Z6 = \sqrt{6}$$

$$ZMA = 1 + 2Z\sqrt{2}$$

$$ZME = 1 - 2Z\sqrt{2}$$

onde  $Z = +1$  para o íon  $H^-$  e  $Z = +2$  para o átomo de He. Devemos notar que no caso do íon  $e^-e^+e^-$  fornecemos para valores de  $k$  até 6 os  $C_{n,m}$  em termos de quocientes, com base nos cálculos realizados com o programa Schoonschip.

ZY=-8,-/3 /PY	C919=ZY*-4,-69788426315E-2
Z2=DEORT (220)	C811=1,-9137951621*ZY
Z3=NSORT (380)	C812=-0,5232325771*ZY
Z6=NSORT (690)	C910=0,-3143880517*ZY
C11=ZY*72	C911=0,-2981701046*ZY
C12=ZY*14,-/5	C912=1,-1292973459*ZY
C13=2Y*73* ((-12,-)/35)	C913=0,-1,77164852*ZY
C14=ZY*26* ((-3,-1)/35)	C191=0,-6,3553675109*ZY
C15=(-4,-/21,-)*ZY	C192=-0,1727886594*ZY
C16=(-8,-/71,-)*ZY	C111=1,-6641814731*ZY
C22=ZY*72* ((26,-1)/35)	C112=0,7551648371*ZY
C23=7Y*73* ((158,-1)/15)	C1212=1,0234956714*ZY
C25=ZY*26* ((-125,-1)/315)	C113=ZY*8,-1407732045D-2
C25=ZY*44,-/1153,-)*ZY	C213=ZY*0,-3325452931
C26=(8,-/3,-1)*ZY	C313=-ZY*0,4555931172
C33=ZY*72* ((-1,-105)	C413=-ZY*0,1270330591
C38=ZY* (268,-/95)	C513=-ZY*0,31949305144
C35=ZY*76 ((77L,-/1365,-)	C613=-ZY*0,3995569743
C36=-ZY*Z6* ((2,-/315,-)	C713=-ZY*0,949774442
C44=ZY*22* ((35,-/33)	C813=ZY*0,4566202037
C45=ZY*73* ((48,-/1001,-)	C913=ZY*0,1350993651
C46=ZY*23 ((2970,-/95045,-)	C1013=ZY*1,-701103485
C55=7Y*72* ((978L,-/75075,-)	C1113=ZY*0,2647445438
C56=ZY*22 ((40112,-/75075,-)	C1213=ZY*0,3954672154
C66=ZY*22 ((10916,-/15015,-)	C1313=ZY*1,8517703933
C17=-0,2710385277*ZY	C114=-ZY*0,128854653
C18=-0,2710385277*ZY	C218=ZY* (-4,-13565695265D-2)
C19=ZY*9,-582C595759E-2*	C310=-ZY*0,7127943209
C27=ZY* (-1,-4892227519E-31)	C810=ZY* (-2972193153)
C28=-2129588857*ZY	C514=-ZY*0,-51918403161
C29=0,-4001501513*ZY	C714=-ZY*0,-0741640399-2
C37=0,-560861581*ZY	C814=-ZY*0,-0,655137792
C38=ZY* (-1,-5799377E-2)	C914=-ZY*0,-3755573617
C39=0,-46348926157*ZY	C1014=ZY* (-0,-5307752725)
C47=0,-32841463*ZY	C1114=ZY*1,-2018759914
C48=-0,4037193837*ZY	C1214=ZY* (-3,-0,63369D-21)
C49=0,-2385090647*ZY	C1314=ZY*0,6112379644
C57=1,-0514206672*ZY	C1414=ZY*1,8719121549
C58=0,-8120464073*ZY	C1515=ZY* (-0,16291545651)
C59=0,-2117499557*ZY	C215=ZY*0,109265177
C67=ZY* (-2,-366217311E-2)	C315=ZY* (-4,-7421334734D-2)
C68=0,7379651158*ZY	C415=ZY*0,3763117349
C69=-0,20263095457*ZY	C515=ZY*0,447693372
C77=1,-5983722272*ZY	C715=ZY* (-0,-726309571)
C78=0,4135237212*ZY	C615=ZY* (-0,-2135211121)
C79=-0,3656117229*ZY	C815=ZY* (-1,-6019982629D-2)
C88=1,-2899320014*ZY	C915=ZY* (-0,-5913152681)
C89=0,6987250147*ZY	C1015=ZY* (-6,-3614040566D-4)
C99=1,50921909267*ZY	C1115=ZY* (-0,-8563399921)
C110=0,2055515863*ZY	C1215=ZY*0,6941924548
C111=0,1027757349*ZY	C1315=ZY* (-0,3924407054)
C112=0,2055515863*ZY	C1415=ZY*0,4,-0,4942295
C210=-0,1971772,-29*ZY	C1515=ZY*1,2739715974
C211=0,4232840328*ZY	C116=ZY* (-5,-75039593D-2)
C212=ZY* (-8,-754794944E-2)	C216=ZY* (-0,-233510109781)
C310=ZY* (-0,-8,-2100375E-2)	C316=-ZY*0,2911733357
C311=-0,1730389562*ZY	C416=ZY*0,1185612569
C410=-0,-3113840450*ZY	C516=ZY*0,14977231162
C411=-0,201060617*ZY	C616=ZY*0,4347494933
C412=-0,-4750547946*ZY	C716=ZY*0,502541473
C510=-0,9914849475*ZY	C816=ZY* (-0,-9,475104)
C511=0,-329506487*ZY	C916=ZY* (-0,-2414771477)
C512=7Y*1,-10721411135-2	C1016=ZY* (-0,-2711473323)
C610=-0,1111217746*ZY	C1116=ZY* (-0,-2192231171)
C611=-0,-748032499*ZY	C1216=ZY* (-1,-0,4074269346)
C612=0,-133773137*ZY	C1316=ZY* (-0,-1237339993)
C710=1,-3377247*ZY	C1416=ZY* (-0,-341205673)
C711=-0,-744117144*ZY	C1516=ZY*0,694562935
C712=-0,-744117144*ZY	C1616=ZY*1,1351499754

Tabela B.1 - Elementos  $C_{n,m}$  para o íon  $e^-e^+e^-$ .

```

C11=-ZY*Z**72
C12=ZY*22**7-/5-
C13=-ZY*Z**73**6-/35-
C14=ZY*Z**76**3-/35-
C22=-ZY*72 (*7**6-/35. + ZM**38-/35)
C23=ZY*73*128-/315-
C24=-ZY*76*62-/315-
C33=-ZY*71**72*142L./1155-
C34=ZY*71**114-/345-
C44=-ZY*72*22**35-/33-
C15=ZY*4-/21-
C25=-ZY*12**332-/1155. + ZM**8-/13-
C35=-ZY* (176.715. + 4. /105.) * ZD
C45=-ZY*73*148./1091-
C55=-ZY*Z**2* (2**8*1.18617206 + ZMA*2./65.)
C16=-ZY*4-/21-
C26=-ZY* (Z**5*268./1155. + ZMA*68./385)
C36=-ZY*76*0.19331779
C46=-ZY*73*0.329714737
C56=ZY*Z**2* (771*0.1757709595 + ZME*0.0313752912)
C66=-ZY*72* (2MA*0.1746592 + ZME*1.075138183) -
C17=-ZY*71**0.1355192713
C27=-ZY* (0.1891312903*9.3321034E-2)
C37=-ZY* (0.3223033296*0.4265473077D-2) * ZMA
C47=-ZY*0.196207061742NE
C57=-ZY* (0.6513037094*7.8400533176D-2)
C67=-ZY* (0.1917923211+0.1077071592) -
C77=-ZY* (1.729688327*6.5675552115D-2) * ZME
C18=-ZY*Z**1.1355192713
C28=-ZY* (0.16530372664*0.1176459862)
C38=-ZY* (0.240685577*0.1115027977) * ZME
C48=-ZY*Z**0.3014596943
C58=-ZY* (0.3006421*00*9.938215270D-2)
C68=-ZY* (0.0523729987*0.1667766916)
C78=-ZY*Z** (0.2503771*033*8.723060515D-2)
C88=-ZY*7**1. (5.9465538785*0.1293609366)
C19=-ZY*7**6.53265295750D-2
C29=-ZY*0.2000775076
C39=-ZY*7**0.23112246192
C49=ZY*Z**0.233509096
C59=ZY*0.2117497565
C69=-ZY*9.513154673
C79=-ZY*7**0.19340550614
C89=ZY*7**1.0.3093625054
C99=-ZY*7**1.5092109267
C110=ZY*0.1027757934
C210=-ZY* (2**6*0.136273099*7**4*7.5168915169D-2)
C310=ZY* (0.229901571*7.05865235294D-2)
C410=-ZY*0.155674727
C510=-ZY* (7**4*0.158652761007*7**5*6.430861683D-2)
C610=ZY* (7**4*0.1512391286*7**5*6.0*4207758D-2)
C710=ZY*0.649798849475.82*035106D-2)
C810=-ZY* (0.19950299304*7.6511833756D-2)
C910=ZY*0.1571780293
C1010=-ZY*7**1.77164953
C1111=-ZY*0.1027757934
C211=-ZY* (7**4*0.124922543*7**4*8.7549749940D-2)
C311=-ZY* (0.11111177254*8.6349204931D-2)
C411=-ZY*0.101009397
C511=-ZY* (7**4*0.24312071447*4*8.0138*10128D-2)
C611=-ZY* (7**4*0.241912071*7**4*8.01233140539)
C711=-ZY* (0.2499199556*7.298573721D-2)
C811=ZY* (0.2499199556*7.298573721D-2)
C911=-ZY*0.2499199556
C1011=-ZY* (7**4*0.241761215*7**4*6.575711695D-2)
C1111=-ZY* (7**4*0.241761215*7**4*6.575711695D-2)
C1212=ZY*0.1027757934
C2122=-ZY* (7**4*0.1119114195*7**4*9.4710584719D-2)
C3122=ZY* (0.1119114195*7**4*9.4710584719D-2)
C4122=-ZY*0.2337547992
C512=-ZY* (7**4*0.1119114195*7**4*9.4710584719D-2)
C612=-ZY* (7**4*0.1119114195*7**4*9.4710584719D-2)
C712=-ZY* (0.14644817614*9.7297615957*)*
C812=-ZY* (0.14644817614*9.7297615957*)*
C912=ZY*0.56464486742
C1012=-ZY* (7ME*0.13001719*7**4*9.7111112119D-2)
C1112=ZY* (7ME*0.2480216374*7ME*0.121760571)
C1212=-ZY* (7RE*0.1173573966*7RE*0.246930966)

```

Tabela B.2 - Elementos  $C_{n,m}$  para o íon  $H^-$  e átomo de He com massas nucleares infinitas.

C11=ZY*2.58467
C12=ZY*5.665560-1
C13=-ZY*1.17651
C14=-ZY*3.637220-1
C22=ZY*1.87495
C23=ZY*0.69185435
C24=ZY*4.824630-1
C33=ZY*3.191145
C34=ZY*1.33221
C44=ZY*2.78132
C15=ZY*1.8959914E-1
C25=ZY*(-4.79707975E-1)
C35=ZY*6.9796971E-1
C45=ZY*(-2.54910827E-1)
C55=ZY*2.8992214
C16=ZY*(-1.9076937E-1)
C26=ZY*(0.2519706)
C36=-ZY*4.7330665E-1
C46=ZY*5.71961675-1
C56=ZY*(0.71529060)
C66=ZY*-1.8366698
C17=ZY*0.2476792091
C27=ZY*0.782800552
C37=-ZY*1.556427942
C47=-ZY*0.3585992431
C57=ZY*0.7239109861
C67=ZY*0.299405539
C77=ZY*2.281306558
C18=ZY*0.19507
C28=ZY*0.2826450561
C38=-ZY*0.6436764401
C48=-ZY*1.1554093665
C58=-ZY*0.407259169
C68=ZY*0.6180759587
C78=ZY*1.292240937
C89=ZY*3.066930978
C19=ZY*0.17513807
C29=ZY*0.2003854669
C39=-ZY*0.8058099535
C49=-ZY*0.4356235176
C59=ZY*0.2107749517
C69=-ZY*0.15139445749
C79=ZY*0.3351983296
C89=ZY*1.337232887
C99=ZY*2.7583197073
C110=ZY*0.103566797
C210=-ZY*3.94291C723260-2
C310=ZY*0.2905710907
C410=ZY*0.1568721523
C510=ZY*1.361302034
C610=ZY*7.0966741149E-2
C710=ZY*0.7581059318
C810=-ZY*3.2742708994
C910=ZY*0.15839170
C1010=ZY*3.23795644242
C1111=-ZY*0.1023025612
C1211=ZY*0.3149713354
C3111=-ZY*0.2692412561
C4111=ZY*0.2001351526
C5111=-ZY*0.114258716
C6111=-ZY*0.3091976902
C7111=-ZY*0.471731576
C8111=ZY*0.5975610831
C9111=-ZY*0.207274140
C10111=ZY*0.8438702598
C11111=-ZY*2.047051666
C112=ZY*0.1028312050
C212=-ZY*0.1771968064
C312=ZY*0.7519607153
C412=-ZY*0.2240949001
C512=0.62367681914E+ZY
C612=ZY*0.2764912913
C712=ZY*2.2438457019
C812=-ZY*0.500133309
C912=ZY*0.56555177815
C1012=-ZY*9.660807527D-2
C1112=ZY*0.7125878226
C1212=ZY*1.8200457926

Tabela B.3 - Elementos  $C_{n,m}$  para o íon  $H^-$  com massa nuclear real.

BIBLIOGRAFIA

1. Ivo Slaus, S.A.Moszkowski, R.P. Haddock, W.T.H. van Oers, Few Particle Problems in the Nuclear Interaction, North Holland/American Elsevier, 1972.
2. L.D. Fadeev, Scattering Theory for a Three-Particle System , Zh. Eksp. Teor. Fiz. 39 (1960) 1459; Sov. Phys. - JETP 12 , (1961) 1014.
3. J.S. Levinger, The Two and Three Body Problem; Editado por G. Höhler em Springer's Tracts in Modern Physics, vol. 71, Springer-Verlag, 1974.
4. E.W. Schmid, H. Ziegelman, The Quantum Mechanical Three- Body Problem, Editado por H. Srumpf em Vieweg Tracts in Pure and Applied Physics, vol. 2, Friedr. Vieweg & Sohn/Pergamon Press, 1974..
5. W. Zickendraht, Construction of a Complete Orthogonal System for the Quantum Mechanical Three-Body Problem, Annals of Physics, 35 (1965) 18.
6. Yu. A. Simonov, The Three-Body Problem. A Complete System of Angular Functions, Yad. Fiz. 3 (1966) 630; Sov. J.Nucl.Phys. 3 (1966) 461.
7. A.M. Badalyan, Yu. A. Simonov, The Three-Body Problem. Equation for the Partial Waves, Yad. Fiz. 3 (1966) 1032; Sov. J. Nucl. Phys. 3 (1966) 755.
8. Yu. A. Simonov, The Hyperspherical Expansion Approach to Nuclear Bound States, Editado por F. Calogero e C.C. Degliatti, em Proceedings of The International Symposium on "Present Status and Novel Developments in the Nuclear Many-Body Problem", Rome 1972, Editrice Compositori, Bologna, 1973.
9. J.D. Louck, H.W. Galbraith, Application of Orthogonal and Unitary Group Methods to the N-Body Problem, Rev. Mod. Phys. 41 (1972) 540.

10. C.D. Lin, Ground State and Elastic Phase Shift of the Electron-Hydrogen System Studied in Hyperspherical Coordinates, Phys. Rev. A12 (1975) 493.
11. K. Roy Chowdhury (Gupta), D.P. Sural, T. Roy, Method of K Harmonics and the Ground-State Energy of the Positronium Negative Ion, Phys. Rev. A12 (1975) 763.
12. H.T. Coelho, L. Consoni, M. Vallières, K-harmonic Solution for Three Bound Unequal Particles, Rev.Bras.Física, 8 (1978) 734.
13. R.D. Amado, H.T. Coelho, K Harmonics in one Dimension, An.J. Phys. 46 (1978) 1057.
14. C.R. Garibotti, F.F. Grinstein, Summation of Partial Wave Expansions in the Scattering by Long Range Potentials, Preprint IFT-247/77, Instituto de Física Teórica, São Paulo, 1977.
15. H.A. Bethe, E.E. Salpeter, Quantum Mechanics of One- and Two-Electron Atoms, 1<sup>a</sup> edição, Springer-Verlag, 1957.
16. I. Lukáč, The Generalized Symmetrical Jacobis' Coordinates for the Non-Relativistic Many-Body Problem, Preprint E4-10737, JINR (Dubna) 1977.
17. D.I. Blokhintsev, Quantum Mechanics, D. Reidel Publishing Company, 1964, pág. 355.
18. K.D. Granzow, N-Dimensional Total Orbital Angular-Momentum Operator, J. Math. Phys. 4 (1963) 897.
19. M. Vallières, T.K. Das, H.T. Coelho, Generalized N-Body Harmonic Oscillator Basis Functions for the Hyperspherical Approach, Nucl. Phys. A257 (1976) 389.
20. A.J. Dragt, Classification of Three-Particle States According to SU<sub>3</sub>, J. Math. Phys. 6 (1965) 533.
21. J.M. Lévy-Leblond, M. Lévy-Nahas, Three-Particle Nonrelativistic Kinematics and Phase Space, J.Math.Phys. 6 (1965) 1571.

22. V.D. Efros, Hypershperic Functions for Three Particles, *Yad. Fiz.* 13 (1971) 1318; *Sov. J. Nucl. Phys.* 13 (1971) 758.
23. V.A. Knyr, Yu. F. Smirnov, K.V. Shirikova, Group of Canonical Transformations and the Method of K Harmonics, *Teor. Mat. Fiz.* 30 (1977) 370.
24. M. Fabre de La Ripelle, The Hyperspherical Formalism, *Rev. Roum. Phys.* 14 (1969) 1215.
25. G. Erens, J.L. Visschers, R. van Wageningen, Solution of a Three-Body Problem in a Six-Dimensional Isotropic Harmonic Oscillator Basis, Editado por J.S.C. McKee e P.M. Rolph em *Three-Body Problem in Nuclear and Particle Physics*, North-Holland, Amsterdam, 1970.
26. E. Mezbacher, Quantum Mechanics, 2<sup>a</sup> edição, John Wiley & Sons, Inc., 1970.
27. W. Magnus, F. Oberhettinger, R.P. Soni, *Formulas and Theorems for the Special Functions of Mathematical Physics*, Springer-Verlag, New York, 1966.
28. M. Moshinsky, The Harmonic Oscillator in Modern Physics: From Atoms to Quarks, Gordon and Breach, 1969.
29. H.T. Coelho, T.K. Das, M. Vallières, A Basis Expansion for the Hyperspherical Approach in a Simple Triton Model. *Rev. Bras. Física*, 7 (1977) 237.
30. G. Erens, J.L. Visschers, R. van Wageningen, Variational Calculations on a Simple Triton Model Using a Complete Hyperspherical Function Basis, *Ann. of Phys.* 67 (1971) 461.
31. V.F. Demin, Yu. E. Pokrovsky, V. D. Efros, Bound-State Properties of Three and Four Nucleons with Realistic Forces, *Phys. Lett.* 44B (1973) 227.
32. I.S. Gradshteyn, I.M. Ryzhik, Table of Integrals, Series, and Products, 4<sup>a</sup> edição, Academic Press, 1965.
33. J.A. Wheeler, *Ann. N.Y. Acad. Sci.* 48 (1946) 219.

34. G. Ferrante, Annihilation of Positrons from Positronium Negative Ion  $e^-e^+e^-$ , Phys. Rev. 170 (1968) 76.
35. I. Aronson, C.J. Kleinman, L.S. Pruch, Nonexistence of a Positron-Hydrogen-Atom Bound State, Phys. Rev. A4 (1971) 841.
36. G.D. Doolen, J. Nuttal, C.J. Wherry, Evidence for a Resonance in  $e^+H$  S-Wave Scattering, Phys. Rev. Lett. 40 (1978) 313.
37. G. Fiorentini, G. Torelli, Exotic Atoms, Servizio Documentazione dei Laboratori Nazionali di Frascati, 1977.
38. I.I. Gol'dman, V.D. Krivchenkov, Problems in Quantum Mechanics, Pergamon Press, 1961.
39. G.L. Pekeris,  $1^1S$ ,  $2^1S$ , and  $2^3S$  States of  $H^-$  and of He, Phys. Rev. 126 (1962) 1470.
40. A.A. Frost, M. Inokuti, J.P. Lowe, Approximate Series Solution of Nonseparable Schrödinger Equations. II. General Three-Particle System with Coulomb Interaction, J. Chem. Phys. 41 (1964) 482.
41. M.H. Chowdhury, D.G. Pitchers, Energy Eigenvalues and Eigenfunctions of Two-Electron Atoms, J. Phys. B10 (1977) 1225.
42. R.K. Colegrave, A.M. King, Binding Energies of Atomic Systems by The Fadeev Method, J. Phys. B10 (1977) L269.
43. R.N. Hill, Proof that the  $H^-$  ion has Only One Bound State. Details and Extension to Finite Nuclear Mass, J. Math. Phys. 18 (1977) 2316.
44. D.R. Beck, C.A. Nicolaides, How Many Bound States do  $H^-$  and  $H^{2-}$  Have ?, Chem. Phys. Lett. 59 (1978) 525.
45. B.T. Smith, J.M. Boyle, J.V. Dongarra, B.S. Garbow, Y. Ikebe, V.C. Klema, C.B. Moler, Matrix Eigensystem Routines-Eispack Guide, Second Edition, Springer-Gerlag, N.York, 1976.
46. International Mathematical and Statical Libraries Inc., Library Manual, Fifth Edition, 1975.

47. T.R. Schneider, Convergence of Generalized Spherical Harmonic Expansions in the Three Nucleon Bound State, *Phys. Lett.* 40B (1972) 439.
48. V.F. Demin, Convergence of the Hyperspherical Expansion in the Problem of Three and Four Bodies and the Properties of the Interaction Potentials, *Yad. Fiz.* 26 (1977) 720; *Sov. J. Nucl. Phys.* 26 (1977) 379.
49. J. Bruinsma, R. van Wageningen, Calculations of the Triton Binding Energy for Reid's Soft-Core Nucleo-Nucleon Interaction, *Phys. Lett.* 44B (1973) 221.
50. R.V. Reid, Local Phenomenological Nucleon-Nucleon Potentials, *Ann. of Phys.* 50 (1968) 411.
51. B. Carnahan, H.A. Luther, J.O. Wilkes, *Applied Numerical Methods*, John Wiley & Sons, Inc. 1969.
52. G.A. Baker, J.L. Gammel, *The Padé Approximant in Theoretical Physics*, Academic Press, 1970.
53. C.R. Garibotti, F.F. Grinstein, Punctual Padé Approximants as a Regularization Procedure for Divergent and Oscillatory Partial Wave Expansions of the Scattering Amplitude, Preprint IFT 272/78, Instituto de Física Teórica, São Paulo, 1978.
54. R.C. Johnson, Alternative Approach to Padé Approximants, Invited Talk at the Canterbury International Padé Conference, July 1972.